

บทที่ 2

เอกสารและงานวิจัยที่เกี่ยวข้อง

บทนี้กล่าวถึงทฤษฎี เอกสารและงานวิจัยที่เกี่ยวข้องกับงานวิจัยนี้ซึ่งประกอบด้วย กระบวนการเคลือบฟิล์มบาง การก่อเกิดฟิล์มบาง โครงสร้างของฟิล์มบาง การเคลือบฟิล์มบางด้วย วิธีสปัตเตอริง กระบวนการโกล์วิดิชาร์จ ระบบเคลือบแบบดีซีสปัตเตอริง ระบบเคลือบแบบ ดีซีเมกนิตรอนสปัตเตอริง ระบบเคลือบแบบอันนาลันซ์เมกนิตรอนสปัตเตอริง การเคลือบฟิล์มบางด้วยวิธีรีแอคตีฟสปัตเตอริง และการหาลักษณะเฉพาะของฟิล์มบาง ซึ่งมีรายละเอียดดังนี้

กระบวนการเคลือบฟิล์มบาง

การเคลือบฟิล์มบาง (Thin Film) ในสุญญากาศครั้งแรกทำโดย Bunsen และ Grove ในปี คศ.1852 โดยพื้นฐานแล้วแนวคิดเกี่ยวกับ การเคลือบในสุญญากาศหรือการเคลือบฟิล์มบาง คือ การเรียงตัว (Fabricated) โดยการตกเคลือบ (Deposition) ของสารเคลือบในลักษณะอะตอมเดียว บนวัสดุรองรับ (Substrate) จนเกิดเป็นชั้นของฟิล์มที่บางมาก ในระดับนาโนเมตรถึงไมโครเมตร จึงอาจกล่าวได้ว่า “ฟิล์มบาง (Thin Film) หมายถึง ชั้นของอะตอมหรือกลุ่มของอะตอมที่จับรวมกัน เป็นชั้นบาง ๆ” อย่างไรก็ได้การระบุว่าฟิล์มใดเป็น “ฟิล์มบาง” นั้นอาจพิจารณาได้จากลักษณะการใช้งานว่าใช้สมบัติด้านใดของฟิล์ม ก่อว่าคือ ถ้าเป็นการใช้สมบัติเชิงผิว (Surface Properties) จะเรียก ฟิล์มนั้นว่า “ฟิล์มบาง” แต่ถ้าเป็นการใช้สมบัติเชิงปริมาตร (Bulk Properties) จะเรียกฟิล์มนั้นว่า “ฟิล์มหนา” ทั้งนี้จะเห็นว่า ฟิล์มเดียวกันนั้นอาจเป็นทั้ง “ฟิล์มบาง” หรือ “ฟิล์มหนา” ก็ได้ขึ้นกับลักษณะการใช้งานเป็นสำคัญ (Bunshah, 1994)

ปัจจุบันมีการนำฟิล์มบางมาประยุกต์ใช้ในงานด้านต่าง ๆ มากมาย เช่น งานด้าน อิเล็กทรอนิกส์ เช่น สารกึ่งตัวนำ ฟิล์มตัวนำ และฟิล์มตัวต้านทาน หรืองานด้านทัศนศาสตร์ เช่น เลนส์ กระจกสะท้อนแสง กระจกสะท้อนความร้อน เป็นต้น นอกจากนี้ยังสามารถใช้วิธีการเคลือบฟิล์มบางในการเตรียมสารตัวอย่างสำหรับใช้ในการศึกษาสมบัติทางกายภาพของวัสดุในรูปของ ฟิล์มบาง ซึ่งสมบัติบางอย่าง ไม่สามารถวัดได้เมื่ออุปกรณ์สภาพเป็นก้อน (Bulk) เพราะจะนั้นข้อมูลเหล่านี้มีประโยชน์อย่างมากต่อการพัฒนาวัสดุเพื่อนำไปใช้ในอุตสาหกรรม

การเคลือบฟิล์มบางเป็นกระบวนการที่ทำให้สารเคลือบทกเคลือบลงบนผิวสครองรับที่ต้องการ ซึ่งสามารถทำได้ทั้งกระบวนการทางเคมีหรือกระบวนการทางฟิสิกส์ โดยพื้นฐานแล้วกระบวนการเคลือบฟิล์มบางมีขั้นตอนสำคัญ 3 ขั้นตอน (Smith, 1995) ดังนี้คือ

1. การสร้างสารเคลือบ (Source) โดยทั่วไปแล้วสารเคลือบอาจอยู่ในรูปของแข็งของเหลว ไอ หรือแก๊ส ก็ได้ แต่สารเคลือบจะทำการเคลือบันนี้จำเป็นต้องอยู่ในรูปของไอระเหยเท่านั้น ซึ่งวิธีการที่ทำให้สารเคลือบกลายเป็นไอระเหยสามารถทำได้หลายวิธี เช่น การให้ความร้อนหรือการระดมยิงด้วยอนุภาคที่มีพลังงานสูง เป็นต้น

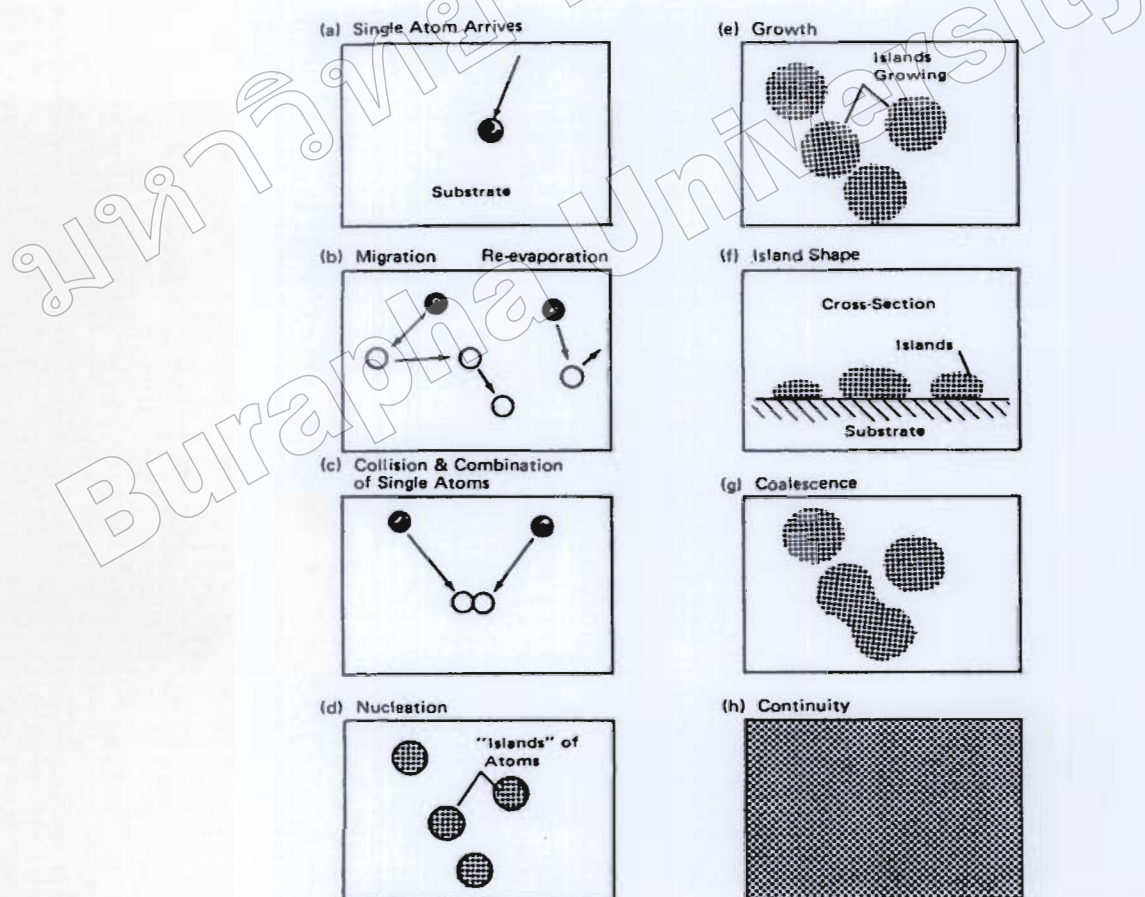
2. การเคลื่อนย้ายสารเคลือบมายังวัสดุรองรับ (Transport) ในภาวะสุญญากาศ ไอระเหยของสารเคลือบอาจจะมีการเคลื่อนที่เป็นเส้นตรง ไปยังวัสดุรองรับ หรืออาจจะเคลื่อนที่ไปในลักษณะของไอล ซึ่งจะทำให้ไอระเหยของสารเคลือบมีการชนกับอนุภาคอื่นภายในภาชนะสุญญากาศ นอกจากนี้ไอระเหยอาจจะเคลื่อนที่ไปยังวัสดุรองรับในลักษณะของพลาสมาร์กได้

3. การสะสมพอกพูน (Deposition) เป็นขั้นตอนของการพอกพูนของสารเคลือบและโดยขั้นตอนนี้จะเป็นขั้นของฟิล์มบางบนวัสดุรองรับ ขั้นตอนนี้จะขึ้นกับเงื่อนไขของวัสดุรองรับหรือการทำปฏิกริยาของสารเคลือบกับวัสดุรองรับ ความสะอาดของผิววัสดุรองรับ ตลอดจนพลังงานที่ใช้ในการเคลือบ

การก่อเกิดฟิล์มบาง

การเกิดฟิล์มบางจากการกระบวนการเคลือบฟิล์มบางในสุญญากาศ Chapman (1980) ได้อธิบายไว้ว่าดังนี้เมื่อสารเคลือบจากแหล่งกำเนิดสารเคลือบเคลื่อนที่มาถึงวัสดุรองรับ สารเคลือบที่กระทบผิววัสดุรองรับส่วนใหญ่จะอยู่ในรูปของอะตอมหรือโมเลกุล (ภาพที่ 2-1 (a)) โดยพลังงานพันธะ (Bonding Energy) ระหว่างอะตอมของสารเคลือบกับวัสดุรองรับและอุณหภูมิของวัสดุรองรับ จะเป็นตัวกำหนดความสามารถในการแพร่ (Diffusion) ของสารเคลือบบนผิววัสดุรองรับ อะตอมของสารเคลือบจะตกกระทบผิววัสดุรองรับในตำแหน่งที่เรียกว่าตำแหน่งการคูกัด (Adsorption Site) ทำให้เกิดการเกาะติดหรือถ้ามีพลังงานมากพอ ก็อาจกระโดดข้ามกำแพงพลังงานไปยังบริเวณที่อยู่ติดกันหรือหลุดออกจากตำแหน่งนั้นไป (ภาพที่ 2-1 (b)) ในช่วงเวลาหนึ่งอะตอมสารเคลือบอาจเกิดการระเหยกลับและเกิดการรวมตัวกันระหว่างอะตอมที่มีการแพร่ด้วยกัน เมื่ออะตอมของสารเคลือบรวมตัวกันอาจเกิดเป็นอะตอมคู่ (ภาพที่ 2-1 (c)) ซึ่งมีความเสถียรมากกว่าอะตอมเดี่ยว (Single Atom) ซึ่งการรวมตัวกันของอะตอมนี้จะขึ้นอยู่กับความหนาแน่นของอะตอมเดี่ยวและอัตราเคลือบ (Deposition Rate) อะตอมคู่อาจรวมตัวกับอะตอมเดี่ยวอีกแล้วกลายเป็นสามอะตอม (Triplets) หรือ สี่อะตอม (Quadruplets) หรืออื่น ๆ ลักษณะเช่นนี้เรียกว่า

สภาวะการเกิดนิวเคลียส (ภาพที่ 2-1 (d)) ทำให้ได้กลุ่มอะตอมกึ่งเสถียร (Quasi-Stable Islands) จากนั้นกลุ่มอะตอมจะเริ่มโตขึ้นเรียกว่า การโตเป็นกลุ่มก้อน (Island Growth) ขนาดของกลุ่มอะตอมจะใหญ่ขึ้น โดยมีจำนวนอะตอมเพิ่มเดิน หรือเพิ่มขึ้นเล็กน้อย (ภาพที่ 2-1 (e) และ 2-1 (f)) การโตของกลุ่มอะตอมนี้จะเกิดขึ้นเรื่อยๆ จนกระทั่งขอบของแต่ละกลุ่มอะตอมชนกัน เรียกว่า การรวมกันเป็นก้อนของกลุ่มอะตอม (Agglomeration หรือ Coalescence) (ภาพที่ 2-1 (g)) จากการศึกษาด้วยเทคนิค Transmission Electron Microscopy (TEM) พบว่าขณะที่กลุ่มอะตอมรวมกันเป็นก้อนอะตอมจะมีพฤติกรรมคล้ายของเหลว (Liquid-Like Behaviour) และมีการจัดเรียงทิศทางในเชิงผลึกวิทยา (Crystallographic Orientation) ด้วย การรวมกันเป็นก้อนของกลุ่มอะตอมจะเกิดขึ้นจนกระทั่งเชื่อมต่อกันอย่างต่อเนื่อง (ภาพที่ 2-1 (h)) แต่ในบางกรณีการเชื่อมต่อกันอย่างต่อเนื่องจะเกิดขึ้นได้อย่างสมบูรณ์เมื่อฟิล์มนีความหนาโดยเฉลี่ยประมาณ $0.04 - 0.05 \mu\text{m}$ ลักษณะพิเศษของฟิล์มนางานะเกิดการรวมกลุ่มอะตอมจะคุ้คล้ายเนินเขาและหุบเขา



ภาพที่ 2-1 การก่อเกิดฟิล์มนาง (Chapman, 1980)

เมื่อพิจารณาการเกิดฟิล์มในสภาวะที่เป็นก้อนอะตอม (Island) พนว่าอาจเป็นก้อนของผลึกเดียวหรือก้อนของผลึกคู่หรือมากกว่านั้น ซึ่งก้อนอะตอมเหล่านี้จะตกเคลื่อนลงบนวัสดุรองรับที่เป็นวัสดุหลายผลึก ทิศทางการจัดเรียงตัว (Orientation) ของแต่ละก้อนอะตอมนั้นจะเป็นแบบสุ่ม (Random) ทำให้ได้ฟิล์มบางที่มีโครงสร้างเป็นหลายผลึกด้วย แต่ถ้าก้อนอะตอมเหล่านั้นตกเคลื่อนบนวัสดุรองรับที่เป็นผลึกเดียว การจัดเรียงตัวของฟิล์มก็จะมีลักษณะเป็นผลึกเดียว และเรียกการเกิดฟิล์มแบบผลึกเดียวประเภทนี้ว่า เอปิแทกซ์ (Epitaxy)

ถ้าอะตอมที่พิวของวัสดุรองรับมีพลังงานเพียงพอ อะตอมเหล่านี้จะเคลื่อนที่เพื่อเลือกเข้าไปอยู่ในตำแหน่งที่มีพลังงานต่ำกว่าเสมอ ทั้งนี้ความสามารถในการเคลื่อนที่ (Mobility) ของอะตอมจะเพิ่มขึ้น ถ้าอุณหภูมิที่ผิววัสดุรองรับสูงขึ้น นอกจากนี้การลดอัตราเคลื่อนยังสามารถช่วยให้การโดยของผลึกเกิดได้ดียิ่งขึ้น เพราะอะตอมมีเวลาในการติดมากพอ ดังนั้นถ้าอุณหภูมิของวัสดุรองรับสูงและมีอัตราเคลื่อนตัวจะได้ฟิล์มที่มีขนาดของเกรนใหญ่ขึ้น มีข้อบกพร่องในเกรนน้อยลง และได้ฟิล์มที่มีความหนามากพอสำหรับการเชื่อมต่อกันอย่างสมบูรณ์ ในทางกลับกันถ้าอุณหภูมิวัสดุรองรับต่ำแต่อัตราเคลื่อนสูงก็จะให้ผลลักษณะเดียวกัน

โครงสร้างของฟิล์มบาง

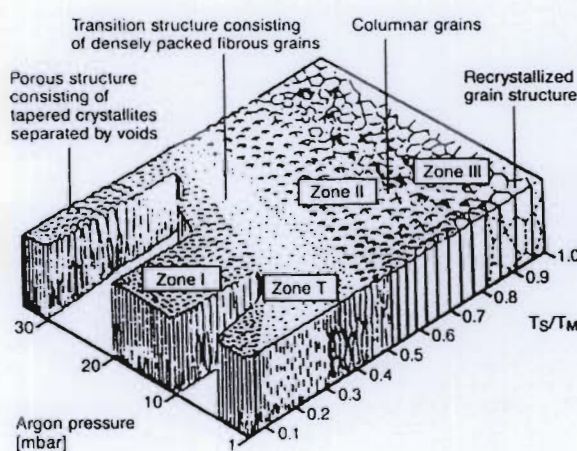
โครงสร้างของฟิล์มบางจะเป็นไปตามเงื่อนไขของอัตราส่วนระหว่างอุณหภูมิเคลื่อนกับอุณหภูมิหลอมเหลว (T/T_m) ซึ่งแบ่งออกเป็น 4 ส่วน ตามลักษณะ โครงสร้างและสมบัติทางกายภาพ (ชีวารัตน์ ป่วงพัฒน์, 2544) ดังภาพที่ 2-2

บริเวณ I (Zone 1) เป็นการเคลื่อนที่เกิดในช่วงอุณหภูมิต่ำ และความดันขณะเคลื่อนนักสูง อัตราเคลื่อนที่อยู่บนผิววัสดุรองรับจะมีค่าสัมประสิทธิ์การแพร่ต่ำ ทำให้เกิดการเกาะกันเป็นก้อนๆเล็กๆ กระจัดกระจาด และเกิดเป็นโครงสร้างผลึกที่มีลักษณะเรียวย阿森纳แบบ Tapers Crystallites จากนิวเคลียสที่มีปริมาณจำกัด ทำให้เกิดความหนาแน่นของโครงสร้างต่ำ มีช่องว่างขนาดความกว้างในระดับ 100 \AA ที่ T/T_m เท่ากับ $0 - 0.1$ ที่ความดัน 1 mtorr ถ้าความดันสูงบริเวณนี้จะขยายกว้างสู่บริเวณที่มีอุณหภูมิสูงขึ้น และทำให้ขนาดของผลึกเพิ่มขึ้น ถ้า T/T_m เพิ่มขึ้น เมื่อจากที่ความดันสูงความหนาแน่นของแก๊สในภาชนะสูญญากาศมีมากขึ้น อนุภาคของสารเคลื่อนจะเคลื่อนที่ตกลงมาได้ยากขึ้น ทำให้อนุภาคของสารเคลื่อนตกลงมาได้น้อย และขณะที่ตกลาจารวมตัวกับอนุภาคอื่น ทำให้อนุภาคที่ตกลงนามีขนาดใหญ่ และมีเวลาในการเคลื่อนที่เพื่อฟอร์มตัวเป็นนิวเคลียสมากขึ้น จึงทำให้ช่องว่างระหว่างเกรนมีขนาดใหญ่เกิดขึ้น ลักษณะของฟิล์มบางที่ขรุระมักจะเกิดจากความไม่สม่ำเสมอของการโดยของนิวเคลียส โดยอุณหภูมิที่มีผลต่อการโดยของฟิล์มนักจะมาจากไอออนที่ระดมยิงเป็นส่วนใหญ่

2. บริเวณ T (Zone T) เป็นบริเวณต้นแบบสำหรับการเคลือบฟิล์มด้วยระบบสปีดเตอริง โดยที่ค่าของ T/T_m อยู่ในช่วง 0.1 - 0.5 ที่ความดันขณะเคลือบประมาณ 1 mtorr เกิดในช่วงระหว่างบริเวณ 1 และบริเวณ 2 อะตอมที่อยู่บนผิววัสดุรองรับจะมีปริมาณมากขึ้น และได้รับผลลัพธ์จากการชนของอนุภาคสารเคลือบ ทำให้อุณหภูมิของวัสดุรองรับเพิ่มขึ้น ค่า Surface Mobility จะเพิ่มขึ้น และโครงสร้างในบริเวณ 1 ก็จะเข้าสู่บริเวณ T ซึ่งจะเริ่มมีเกรนยาว (Fibrous Grain) เต็มพื้นที่ และขอบเกรนมีความหนาแน่นสูงขึ้นจึงมีการแพร่ของอะตอมผ่านขอบเกรนที่ไม่แข็งแรงนั้นเข้าเป็นเนื้อเดียวกัน จนกลายเป็นคอลัมนาร์ (Columnar) ต่อไปโดยปราศจากช่องว่างบริเวณที่ถอน

3. บริเวณ 2 (Zone II) ที่บริเวณ 2 จะมีค่า T/T_m อยู่ระหว่าง 0.5 - 0.8 ที่ความดันขณะเคลือบประมาณ 1 mtorr จะเกิดการแพร่ที่ร้อยต่อร้อยของอนุกรain จนเกิดเป็นโครงสร้างแบบคอลัมนาร์ที่เกิดจากการอุ่นหักนอย่างหนาแน่นของผลึกทั้งหลาย ขนาดของเกรนและความหนาของฟิล์มจะเพิ่มขึ้น เนื่องจากอุณหภูมิในการเคลือบและอัตราการเคลือบเพิ่ม (มีผลต่อ Surface Mobility ของอะตอม) และขนาดของคอลัมนาร์จะเพิ่มขึ้นเรื่อยๆ เมื่ออุณหภูมิเพิ่มขึ้นเนื่องจากการแพร่ที่บริเวณรอยยุบระหว่างขอบคอลัมนาร์

4. บริเวณ 3 (Zone III) บริเวณนี้อุณหภูมิสูงสุดและค่า T/T_m อยู่ระหว่าง 0.8 - 1.0 ที่ความดันขณะเคลือบประมาณ 1 mtorr การแพร่จะมีค่าสูง และส่งผลต่อโครงสร้างสุดท้ายโครงสร้างที่ได้จะเป็นเกรนที่มีค้านท่ากันหมวดขนาดของ คอลัมนาร์ จะมีขนาดใหญ่ และความหนาแน่นเพิ่มขึ้นอย่างไร้ค่าที่อุณหภูมิสูงอาจทำให้เกิดการจัดเรียงผลึกใหม่ (Recrystallization) เนื่องมาจากพลังงานสะสมของความเครียด (Stored Strain Energy) ที่เกิดขึ้นตั้งแต่ตอนเคลือบเกรนที่เกิดขึ้นไปจนตอนนี้จะเปลี่ยนจาก คอลัมนาร์ เป็นผลึกเดียว



ภาพที่ 2-2 โครงสร้างของการเกิดฟิล์มในรูปแบบต่างๆ (ชีวารัตน์ ม่วงพัฒน์, 2544)

การเคลือบฟิล์มบางด้วยวิธีสปัตเตอริ่ง

การเคลือบด้วยวิธีสปัตเตอริ่ง เป็นกระบวนการพอกพูนของชั้นฟิล์มบางที่เกิดจากสารเคลือบที่ได้จากการร่อนของสารเคลือบ หรือ การเคลือบด้วยวิธีนี้เกิดขึ้นเมื่ออะตอมของสารเคลือบที่ได้จากการร่อนของสารสปัตเตอริ่งร่วงเข้าชนวัสดุรองรับและมีการพอกพูนและโดยการชนของอนุภาคพลังงานสูง แล้วมีการแตกเปลี่ยนพลังงานและโน้มน้ามตั้มระหว่างอนุภาคที่ร่วงเข้ากับอะตอมที่ผิวสารเคลือบ โดยอนุภาคที่ร่วงเข้าชนอาจเป็นกลางทางไฟฟ้าหรือมีประจุก็ได้ และเนื่องจากไออ่อนที่ได้จากการร่อนของสารสปัตเตอริ่งในกระบวนการเคลือบฟิล์มบางด้วยวิธีสปัตเตอริ่งจะเกิดขึ้นที่ด้วยความเร็วสูงกว่าวิธีการระเหยสารมาก ดังนั้นมีอะตอมของสารเคลือบที่ร่วงเข้ากระหบบแผ่นวัสดุรองรับก็จะฝังตัวแน่นลงในเนื้อวัสดุที่ต้องการเคลือบมากกว่าวิธีระเหยสาร ดังนั้นการเคลือบด้วยวิธีสปัตเตอริ่งจะทำให้การยึดเกาะระหว่างสารเคลือบกับวัสดุรองรับดีกว่า (พิเชญชัย ลิ่มสุวรรณ และธนัสสถา รัตนะ, 2547; Chapman, 1980)

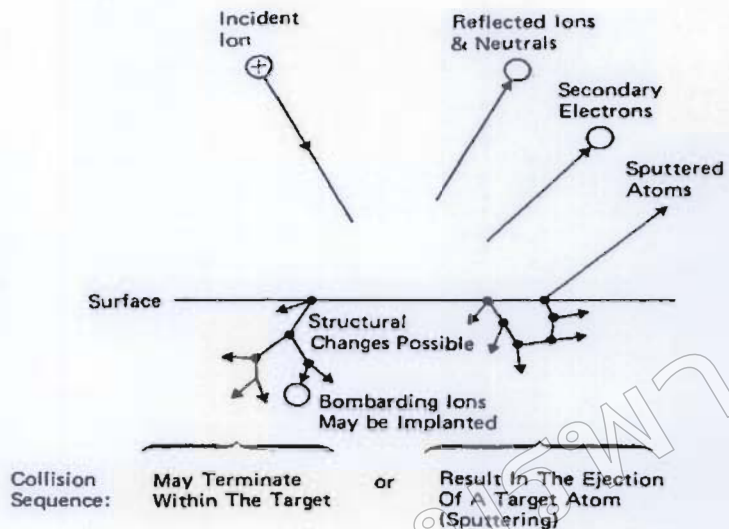
เมื่อพิวหน้าของวัสดุๆ กระบวนการบึ้งด้วยอนุภาคพลังงานสูงจะทำให้เกิดการสึกกร่อนและมีอนุภาคที่พิวหน้าของวัสดุนั้นหลุดมา เนื่องจากการชนของอนุภาคพลังงานสูงกับอนุภาคที่พิวหน้า ปรากฏการณ์ที่อนุภาคพิวหน้าวัสดุหลุดออกมานี้เรียกว่า สปัตเตอร์ (Sputter) หรือสปัตเตอริ่ง (Sputtering) กระบวนการสปัตเตอริ่งนี้ถูกค้นพบครั้งแรกเมื่อ 100 กว่าปีที่ผ่านมาโดย Grove ซึ่งในขณะนั้นสปัตเตอริ่งเป็นกระบวนการที่ทำให้เกิดความเสียหายกับค่าトイคัลและกริดในหลอดดิสชาร์จ แต่ปัจจุบันมีการนำมาระบุกต์ใช้อย่างกว้างขวาง เช่น การทำความสะอาดพิวหน้า (Surface Cleaning) การคัตเชา (Etching) การวิเคราะห์ชั้นพิวหน้าของวัสดุ (Surface Layer Analysis) และการเคลือบฟิล์มบาง

สำหรับแนวคิดเบื้องต้นเกี่ยวกับกระบวนการสปัตเตอริ่ง อธิบายได้ดังนี้

1. อันตรกิริยะระหว่างไออ่อนและผิวเปล่าสารเคลือบ เมื่อวิ่งชนพิวหน้าวัสดุจะเกิดปรากฏการณ์ดังนี้

- 1.1 การสะท้อนที่พิวหน้าของไออ่อน (Reflected Ion and Neutral) ไออ่อนอาจสะท้อนกลับจากพิวหน้าซึ่งส่วนใหญ่จะสะท้อนออกมายังสูบีของอะตอมที่เป็นกลางทางไฟฟ้าอันเกิดจากกระบวนการรวมตัวกับอิเล็กตรอนที่ผิวเปล่าสารเคลือบ

- 1.2 การปลดปล่อยอิเล็กตรอนชุดที่สอง (Secondary Electron Emission) จากการชนของไออ่อนอาจทำให้เกิดการปลดปล่อยอิเล็กตรอนชุดที่สองจากเปล่าสารเคลือบถ้าไออ่อนนั้นมีพลังงานสูงพอ



ภาพที่ 2-3 อันตรกิริยาระหว่างไออ่อนกับพื้นผิวสัมผัส (Chapman, 1980)

1.3 การฝังตัวของไออ่อน (Ion Implantation) ไออ่อนที่วิ่งชนเป้าสารเคลือบนั้นอาจฝังตัวลงในสารเคลือบ โดยความลึกของการฝังตัวจะแปรผันโดยตรงกับพลังงาน ไออ่อน ซึ่งมีค่า 10 อัองศุรอม/ พลังงาน ไออ่อน 1 keV สำหรับ ไออ่อนของแก๊สอาرغونที่ฝังตัวในทองแดง

1.4 การเปลี่ยนโครงสร้างของผิวสารเคลือบ (Target Material Structural Rearrangements) การชนของ ไออ่อนบนผิวสารเคลือบทาให้เกิดการเรียงตัวของอะตอมที่ผิวสารเคลือบใหม่และเกิดความบกพร่องของผลึก (Lattice Defect) โดยเรียกการขัดด้วยใหม่ของโครงสร้างผิวนี้ว่า Altered Surface Layer

1.5 การสปัตเตอร์ (Sputter) การชนของ ไออ่อนอาจทำให้เกิดกระบวนการชนกันแบบต่อเนื่องระหว่างอะตอมของเป้าอันทำให้เกิดการปลดปล่อยอะตอมจากเป้าสารเคลือบซึ่งเรียกว่ากระบวนการสปัตเตอร์

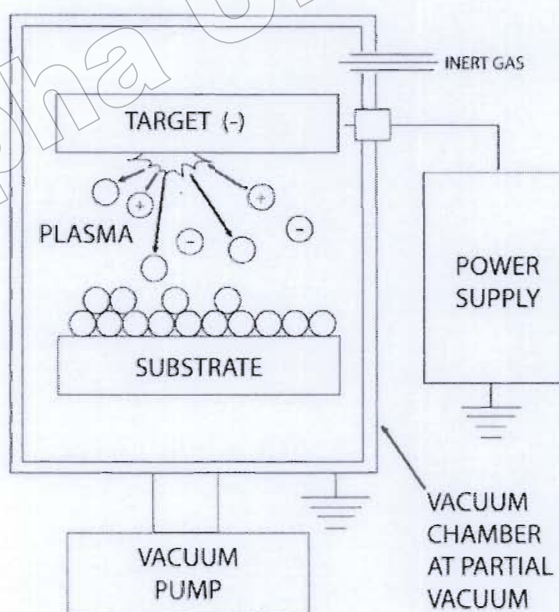
2. กระบวนการสปัตเตอร์ เป็นกระบวนการที่อะตอมผิวน้ำของวัสดุถูกทำให้หลุดออกมากด้วยการชนของอนุภาคพลังงานสูง โดยมีการแลกเปลี่ยนพลังงานและโมเมนตัมระหว่างอนุภาคที่วิ่งเข้าชนกับอะตอมที่ผิวสัมผัติถักถ้วน กระบวนการนี้อนุภาคที่วิ่งเข้าชนอาจเป็นกลางทางไฟฟ้าหรือมีประจุก็ได้ดังนั้นสิ่งที่จำเป็นในกระบวนการสปัตเตอร์ คือ

2.1 เป้าสารเคลือบ ทำหน้าที่เป็นเป้าให้ออนุภาคพลังงานสูงวิ่งเข้าชนจนมีการปลดปล่อยอะตอมของสารเคลือบลงเคลือบบนวัสดุรองรับ

2.2 อนุภาคพลังงานสูง ซึ่งวิ่งชนเป้าสารเคลือบ แล้วทำให้อะตอมของเป้าสารเคลือบหลุดออกมานอกตัวของวัสดุที่วิ่งเข้าชน นิวตรอน หรืออะตอมของธาตุ

ต่าง ๆ แต่การทำให้อนุภาคที่เป็นกลางมีพลังงานสูงเกิน 10 eV เพื่อใช้ในกระบวนการสปัตเตอริ่ง ทำได้ค่อนข้างยาก วิธีการหนึ่งที่นิยมคือการเร่งอนุภาคประจุภายในไฟฟ้า ซึ่งสามารถควบคุมระดับพลังงาน ไออ่อนตามต้องการ อิเล็กตรอนเป็นอนุภาคที่มีประจุนิดหนึ่งที่ผลิตได้่ายและสามารถเร่งให้มีพลังงานสูงภายในไฟฟ้าได้ แต่อิเล็กตรอนมีมวลน้อยกว่าอะตอมของสารเคลือบมากทำให้การถ่ายเทพลังงานและไมemen ตั้มต่ออะตอมสารเคลือบนั้นเป็นไปได้อย่างไม่มีประสิทธิภาพและไม่สามารถทำให้กระบวนการสปัตเตอริ่งเกิดขึ้นได้ ตามทฤษฎีทางฟิสิกส์การชนกันระหว่าง 2 อนุภาคที่มีการส่งถ่ายพลังงานและไมemen ตั้มดีที่สุดจะเกิดขึ้นเมื่อมวลของอนุภาคทึ้งสองมีค่าเท่ากันดังนั้นเราจึงเลือกการเร่ง ไออ่อนของก๊สในสนามไฟฟ้าเป็นอนุภาควิ่ง เป้าสารเคลือบซึ่งให้อัตราการปลดปล่อยเป้าสารเคลือบสูงเพียงพอ กับความต้องการ

2.3 การผลิตอนุภาคพลังงานสูง อนุภาคพลังงานสูง ในระบบสปัตเตอริ่งนี้จะต้องถูกผลิตขึ้นอย่างต่อเนื่อง เพื่อให้กระบวนการเคลือบสารเกิดขึ้นได้อย่างต่อเนื่องจนได้ความหนาพิล์มบางตามต้องการ ทึ้งนี้สามารถทำได้หลายวิธี เช่น การใช้ลำอนุภาคจากปืน ไออ่อนที่มีปริมาณการผลิต ไออ่อนในอัตราสูงหรือผลิตจากกระบวนการโกลว์ดิษชาร์จ เนื่องจากปืน ไออ่อนมีราคาค่อนข้างสูงและให้ ไออ่อนในพื้นที่แคบ กระบวนการสปัตเตอริ่งทั่วไปในระดับอุตสาหกรรมจึงนิยมใช้กระบวนการโกลว์ดิษชาร์จในการผลิตอนุภาคพลังงานสูง



ภาพที่ 2-4 ลักษณะของเครื่องเคลือบสูญญากาศด้วยวิธีสปัตเตอริ่ง

3. ค่าyieldของสปัตเตอร์ (Sputtering Yield: S) คือ ค่าเฉลี่ยปริมาณการหลุดของอะตอม เป้าสารเคลื่อนต่อปริมาณการชนของไอออน 1 อนุภาค มีหน่วยเป็น อะตอมต่อไอออน โดยการวัด ค่าyieldนี้ สามารถทำได้โดยการหาน้ำหนักหรือความหนาที่ลดลงของเป้าสารเคลื่อน หรือหาได้จาก วัสดุทั้งหมดที่ถูกสปัตเตอร์ หรืออาจหาได้จากการตรวจวัดสปัตเตอร์อะตอม (Sputter Atom) ขณะที่ ยังพุ่งกระจาย (พิเชญ ลิมสุวรรณ และธนสดา รัตนะ, 2547) ค่าyieldของกระบวนการสปัตเตอร์ จะเปลี่ยนไปตามภาวะต่างๆ ดังนี้

3.1 เปลี่ยนแปลงตามพลังงานไอออน การชนของอนุภาค 2 อนุภาคในแนวเดียวกัน การถ่ายเทพลังงานระหว่างอนุภาคจะเป็นไปตามสมการที่ 2-1

$$\Delta E = \frac{4mM}{(m+M)^2} \quad (2-1)$$

เมื่อ ΔE ก็คือพลังงานที่ถ่ายเทระหว่างอนุภาค
 m ก็คือมวลอะตอมที่ถูกชน
 M ก็คือมวลของอะตอมที่ร่วมเข้าชน

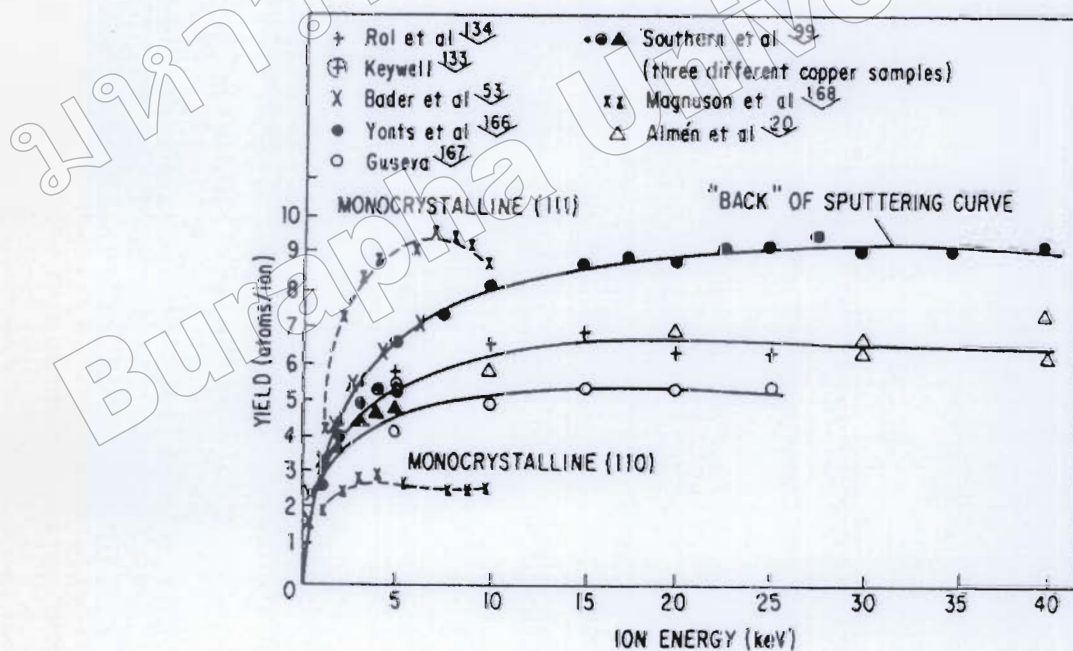
เมื่อพลังงานไอออนมีค่าต่ำมากค่าyieldจากกระบวนการสปัตเตอร์ จะมีค่าเป็นศูนย์ เนื่องจากไม่สามารถอาซันะแรงขึ้นได้ก่าจะกระทบระหว่างอะตอมบนเป้าสารเคลื่อนได้ เมื่อไอออนมีพลังงานสูงขึ้นเกินกว่า $4H$ (H คือค่าพลังงานเฉลี่ยที่ใช้ในการระเหิด 1 อะตอม จากผิวสารเคลื่อน) ถ้าพลังงานไอออนสูงมากพอในการทำให้เกิดกระบวนการชนอย่างต่อเนื่องระหว่างอะตอมสารเคลื่อนและเริ่มนิการปลดปล่อยอะตอมสารเคลื่อน เรียกพลังงานค่านี้ว่า พลังงานขีดเริ่ม (Threshold Energies) ซึ่งเปลี่ยนแปลงไประหว่างคุณภาพชนของอนุภาค (ตารางที่ 2-1)

เมื่อไอออนชนมีพลังงานสูงขึ้นยีลด์จะเพิ่มขึ้นอย่างรวดเร็วแบบเอ็กซ์โพเนนเชียลในช่วงแรกและเปลี่ยนเป็นการเพิ่มแบบเชิงเส้นจากนั้นจึงมีการอิ่มตัว (Saturation) ของค่าyield เมื่อพลังงานไอออนมีค่าสูงมาก ทึ้งนี้เนื่องจากไอออนพลังงานสูงมีโอกาสในการฝังตัวบนผิวเป้าสารเคลื่อนสูงขึ้นทำให้ยีลด์ของสารเคลื่อนมีค่าคงที่ หากนั้นจะมีค่าลดลงเล็กน้อยเมื่อเพิ่มพลังงานไอออนให้สูงมากขึ้น ดังแสดงในภาพที่ 2-5

ตารางที่ 2-1 พลังงานขีดเริ่มของเป้าสารเคลือบชนิดต่าง ๆ (Maissel & Glang, 1970)

	Ne	Ar	Kr	Xe	Hg		Ne	Ar	Kr	Xe	Hg
Be	12	15	15	15	-	Mo	24	24	28	27	32
Al	13	13	15	18	18	Rh	25	24	25	25	-
Ti	22	20	17	18	25	Pd	20	20	20	15	20
C	21	23	25	28	25	Ag	12	15	15	17	-
Cr	22	22	18	20	23	Ta	25	26	30	30	30
Fe	22	20	25	23	25	W	35	33	30	30	30
Co	20	25	22	22	-	Re	35	35	25	30	35
Ni	23	21	25	20	-	Pt	27	25	22	22	25
Cu	17	17	16	15	20	Au	20	20	20	18	-
Ge	223	25	22	18	25	Th	20	24	25	25	-
Zr	23	22	18	25	30	U	20	23	25	22	27
Nb	27	25	26	32	-						

Boldface values are those for which the energy-transfer factor $4m_1m_2/(m_1+m_2)^2$ is 0.9 or higher

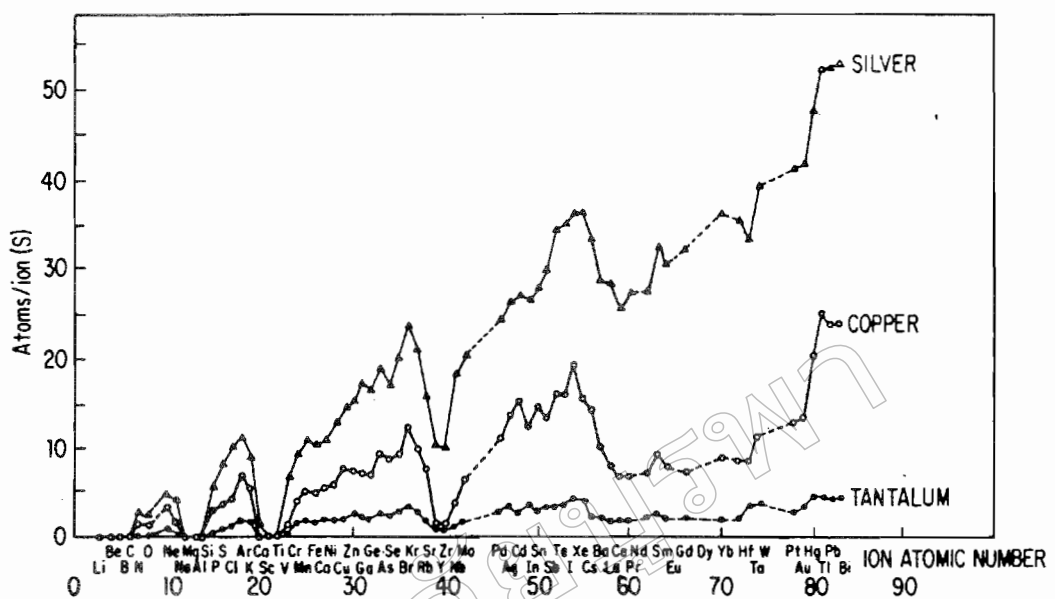


ภาพที่ 2-5 ขีดจำกัดของแรงดึงดูดกันด้วยไออ่อนจากแม่ส่วนตัวก่อนที่พลังงานต่าง ๆ (Maissel & Glang, 1970)

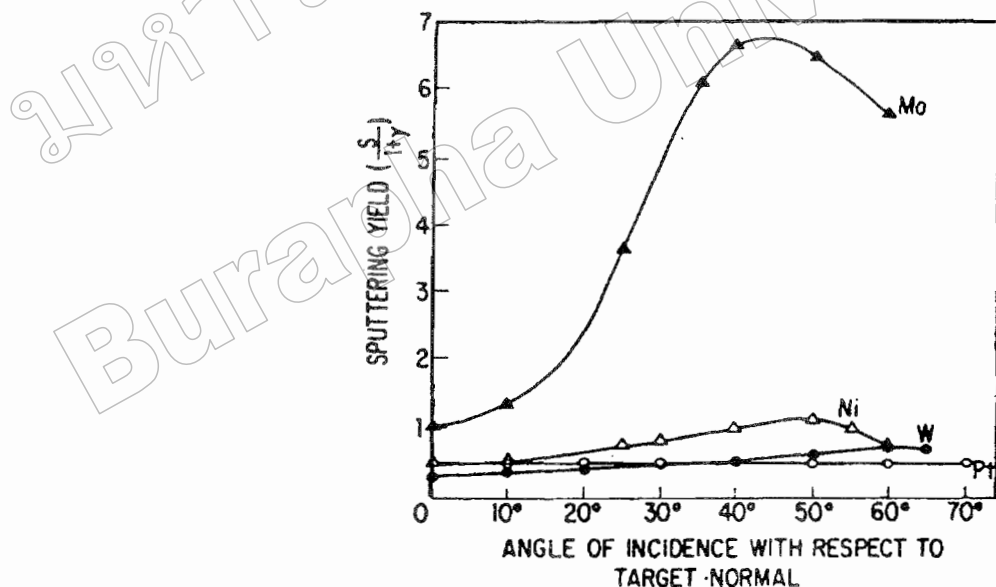
3.2 เปลี่ยนแปลงตามระนาบพลีกของผิวเป้าสารเคลือบ จากการทดลองพบว่าเมื่อใช้ เป้าสารเคลือบที่เป็นพลีกเดียวค่าเยล์ดจะมีค่ามากที่สุดเมื่อไออกอนชนเป้าในแนวระนาบที่มีอะตอม หนาแน่นที่สุด และมีค่าต่ำในระนาบที่มีอะตอมเบาบาง ในท้องแดงซึ่งมีโครงสร้างพลีกแบบ FCC (Face Centered Cubic) พบว่าการชนบนระนาบ (111) ซึ่งมีความหนาแน่นอะตอมสูงสุด เยล์ดจะมี ค่าสูงสุดเมื่อใช้ค่าพลังงานไออกอนในการชนค่าเดียวกัน ส่วนระนาบที่มีความหนาแน่นอะตอมต่ำ ไออกอนมีแนวโน้มวิ่งผิดตัวในเป้าสารเคลือบมากขึ้น

3.3 เปลี่ยนแปลงตามชนิดของไออกอนที่ชนเป้าสารเคลือบ ค่าเยล์ดจากเป้าสารเคลือบ ชนิดเดียวกัน เมื่อใช้ไออกอนต่างชนิดกันวิ่งชนจะมีค่าแตกต่างกันออกไป เมื่อสมการที่ 1 แสดงให้เห็นว่าการถ่ายเทพลังงานระหว่าง 2 อนุภาคที่ชนกันจะมีค่าสูงสุดเมื่อมวลของอะตอมทั้งสองมีค่า เท่ากัน แต่อะตอมบนเป้าสารเคลือบยึดเกาะกับอะตอมข้างเคียงซึ่งทำตัวเสริมอนุมูลยังผลสูงกว่า มวลของอะตอมเดียวจึงพบว่าเยล์ดมีค่าสูงขึ้นเมื่อใช้ไออกอนที่มีมวลสูงกว่ามวลของอะตอมเป้าสาร เคลือบ ภาพที่ 2-6 แสดงการเปลี่ยนแปลงของค่าเยล์ดพบว่ามีค่าสูงสุดเป็นช่วง ๆ ตามตำแหน่งที่ใช้ ไออกอนจากแก๊ส惰性 gas คือแก๊ส Ne, Ar, Kr, และ Xe ซึ่งเป็นอะตอมที่มีอิเล็กตรอนครบ 8 ในวงนอก สุด สาเหตุของการเกิดค่าสูงสุดของค่าเยล์ดเป็นช่วง ๆ นี้ยังไม่มีค่าชิวายที่ชัดเจน

3.4 เปลี่ยนแปลงตามมุมตกรอบของไออกอนบนเป้าสารเคลือบ จากการทดลอง พบว่าเมื่อเพิ่มมุมเอียงของการชนจากไออกอนบนเป้ามากขึ้นเยล์ดจะมีค่าสูงขึ้นตามมุมที่เอียง เนื่องจากอะตอมสารเคลือบที่หลุดออกมามาเปลี่ยนจาก การกระเจิงกลับ (Back Scattering) เป็น การกระเจิงไปข้างหน้า (Forward Scattering) ซึ่งเป็นกระบวนการที่ต้องการจำนวนครั้งของการชน ระหว่างอะตอมน้อยกว่าทำให้เยล์ดสูงขึ้นจนถึงจุดหนึ่งซึ่งมีค่าสูงสุดที่องศาการเอียงมากกว่า 45° จากนั้นเยล์ดจะมีคาดถ่วงเมื่อมุมสูงขึ้น และเป็นศูนย์เมื่อมุมเอียงมีค่า 90° โดยขณะนั้นพื้นที่การชน เมื่อมองจากไออกอนมีค่าเป็นศูนย์ ภาพที่ 2-7



ภาพที่ 2-6 การเปลี่ยนแปลงค่าyield ของเป้าห้องเดง (Cu), เงิน (Ag) และแทนทala้ม (Ta) เมื่อใช้ ไอออนพลังงาน 45 keV จากธาตุที่มีเลขอะตอมค่าต่าง ๆ (Maissel & Glang, 1970)



ภาพที่ 2-7 การเปลี่ยนแปลงของyield เมื่อใช้ ไอออนของ proton พลังงาน 200 eV ชนเป้านิเกลิด (Ni), โมลิบดินัม (Mo), ทั้งสแตน (W) และทองคำขาว (Pt) ที่มุ่งการตัดกระแทกค่าต่าง ๆ (วัดเทียบกับแนวชนตั้งจากบนเป้า) (Maissel & Glang, 1970)

4. ความเร็วและพลังงานของอะตอมที่ถูกสปีดเตอร์หลุดออกจากผิวน้ำเป้าสารเคลื่อน ด้วยวิธีการสปีดเตอร์มีพลังงานจนค่อนข้างสูงและมากกว่าพลังงานของอะตอมที่หลุดออกด้วยวิธีการระเหยสารประมาณ 50 - 100 เท่า อะตอมมีการกระจายพลังงานแบบ Maxwellian โดยที่พลังงานส่วนใหญ่มีค่าต่ำกว่า 10 eV และอีกส่วนหนึ่งมีพลังงานระหว่าง 10 - 40 eV ถ้าไอออนที่ใช้มีพลังงานสูงขึ้น พลังงานเฉลี่ยของอะตอมจากสปีดเตอร์จะมีค่าสูงขึ้นจนเมื่อไอออนที่วิ่งชนมีพลังงานเกิน 1 keV พลังงานเฉลี่ยของอะตอมจากการสปีดเตอร์จะไม่เพิ่มขึ้นและเป้าที่มีค่าอีลด์สูงมีแนวโน้มทำให้พลังงานเฉลี่ยของอะตอมที่หลุดออกมามีค่าต่ำ เนื่องจากไอออนที่วิ่งชนเมื่อเฉลี่ยพลังงานให้กับอะตอมที่หลุดออกมานานวนมาก อะตอมแต่ละตัวจะรับพลังงานเฉลี่ยจากไอออนได้น้อยลง

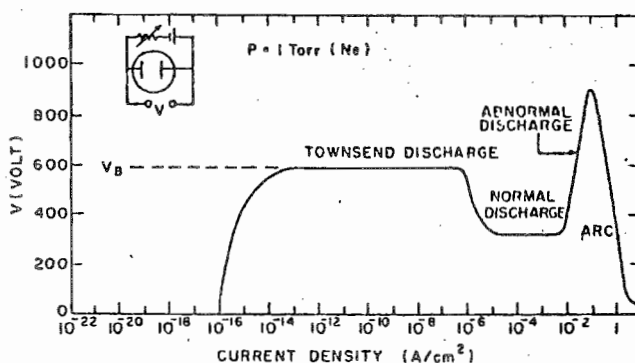
กระบวนการโกล์ด์ซิชาร์จ

พิเชญชัย ลิ่มสุวรรณ และชนสุดา รัตนะ (2547) ได้อธิบายกระบวนการโกล์ดซิชาร์จไว้ดังนี้ เมื่อป้อนแรงดันไฟฟ้ากระแสตรงให้กับข้ออิเล็กโทรด 2 ข้อ ที่วางห่างกันเป็นระยะ d กวายได้ความดันประมาณ 1.33 mbar ของแก๊สเนื้ออน พบร่วงแรงแรกที่เพิ่มแรงดันทางไฟฟ้าจะมีกระแสไฟล์ในวงจรนี้อย่างมาก กระแสส่วนนี้เกิดจากการเคลื่อนที่ของอิเล็กตรอนและไอออนของแก๊สที่เกิดขึ้นตลอดเวลาในบรรยากาศเนื่องจากการชนของรังสีคอสมิกและถูกเร่งภายใต้สนามไฟฟ้า กระแสนี้จะมีค่าค่อนข้างคงที่ เพราะอัตราการคิดประจุขึ้นอยู่กับความเข้มของรังสี เมื่อศักย์ไฟฟ้าเพิ่มขึ้นไกล์ค่าแรงดันไฟฟ้าทะลาย (Breakdown Voltage; V_B) พลังงานของประจุที่ถูกเร่งภายใต้สนามไฟฟ้าจะมีค่าสูงขึ้นจนสามารถขบวนโมเลกุลของแก๊สทำให้เกิดการแตกตัวเป็นไอออนบวกและอิเล็กตรอนซึ่งถูกเร่งภายใต้สนามไฟฟ้าให้มีการชนและเกิดการไออ่อนในชั้นเพิ่มขึ้น ส่วนของไอออนบวกจะถูกเร่งเข้าชนคาโทด จนเกิดการปลดปล่อยอิเล็กตรอนทุติยภูมิ (Secondary Electron) เรียกกระบวนการช่วงนี้ว่า ทวน์เซนต์ดิชาร์จ (Townsend Discharge)

เมื่อแรงดันไฟฟ้าเพิ่มขึ้นถึงแรงดันไฟฟ้าทะลายจะเกิดกระบวนการคลั่ม (Avalanche) ทำให้ปริมาณไออ่อนบวกวิ่งเข้าชนคาโทดมากขึ้นและมีการปลดปล่อยอิเล็กตรอนทุติยภูมิมากขึ้นซึ่งจะถูกเร่งให้วิ่งเข้าหาอาโนดขณะเดียวกันอิเล็กตรอนทุติยภูมินี้ก็จะมีการชนกับโมเลกุลของแก๊สทำให้เกิดไออ่อนมากขึ้น สุดท้ายไออ่อนบวกที่เพิ่มขึ้นมากขึ้นนี้ก็จะวิ่งเข้าชนคาโทดแล้วเกิดการปลดปล่อยอิเล็กตรอนทุติยภูมิเพิ่มขึ้นตามมาด้วย และชนโมเลกุลแก๊สทำให้เกิดผลิตไออ่อนเพิ่มขึ้นทำให้กระแสเพิ่มขึ้นอย่างรวดเร็วจนมีปริมาณไออ่อนมากเพียงพอที่จะผลิตอิเล็กตรอนได้ในจำนวนคงที่ ช่วงนี้ระบบสามารถรักษาสภาพดิชาร์จได้ด้วยตนเองโดยไม่ต้องอาศัยแหล่งกำเนิดจากรังสีภายนอกในการผลิตไออ่อน ช่วงนี้แก๊สภายในระบบจะเกิดการเรืองแสงขึ้น แรงดันไฟฟ้าระหว่าง

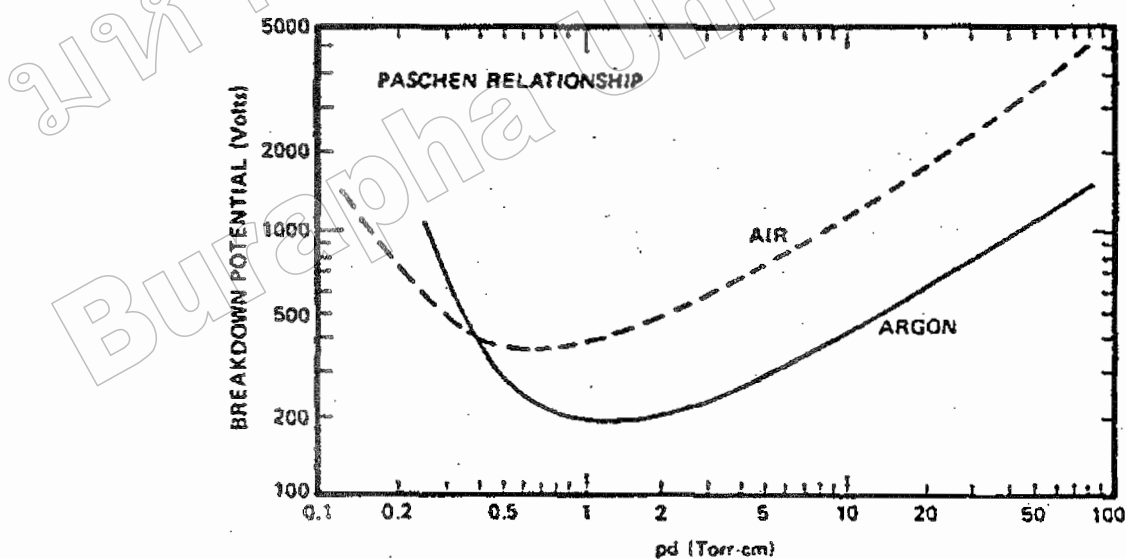
อิเล็กโตรดลดค่าลงและกระแสไฟฟ้าเพิ่มขึ้นอย่างรวดเร็วเรียก การเรืองแสงปกติ หรือ นอร์มอล โกลว์ (Normal Glow) สถานะนี้อัตราการปลดปล่อยอิเล็กตรอนทุกภูมิค่าอัตราการชนของไอออน มีค่าคงที่ คือประมาณ 0.1 สำหรับเป้าค่าโถที่ทำจากวัสดุหัวไวป์ โดยในช่วงเริ่มต้นของการ เรืองแสงหรือโกลว์ การชนของไอออนบนค่าโถจะปรับตัวเองให้เกิดขึ้นในบางบริเวณ แนวการ เรืองแสงอาจเลื่อนไปมาได้และการชนของไอออนบนค่าโถ ไม่มีความสม่ำเสมอโดยจะมีความ เยื้องของบริเวณการเรืองแสงตามแนวขอบหรือมุมของค่าโถที่มีสนามไฟฟ้าสูงเพื่อรักษาสภาพการ โกลว์ (Self-Sustaining) บางบริเวณไว เมื่อกระแสไฟฟ้ามีค่าเพิ่มขึ้นตามแนวการชนของไอออนจะ ก่อให้ ขยายตัว เพิ่มพื้นที่จังหวะบนค่าโถ จนกระทั่งมีความหนาแน่นกระแส เท่ากันตลอดโดยมีค่าแรงดันไฟฟ้าระหว่างข้ออิเล็กโตรดคงที่

หลังจากการชนของไอออนครอบคลุมพื้นที่ทั้งหมดของค่าโถแล้ว การเพิ่มกำลังไฟฟ้า เข้าสู่ระบบจะทำให้ทั้งแรงดันไฟฟ้าและกระแสไฟฟ้ามีค่าเพิ่มขึ้น เรียกว่า ช่วงการเรืองแสงผิดปกติ เป็นไปอย่างต่อเนื่อง หรือ แบบนอร์มอล โกลว์ (Abnormal Glow) เป็นช่วงที่ใช้กับระบบปฏิบัติการ และ อีกหลาย ๆ ระบบของกระบวนการเก็บข้อมูล กอล์ดิศชาร์จ ช่วงนี้ถ้าไม่ระบายความร้อนให้กับ ค่าโถ เมื่อความหนาแน่นของกระแสของค่าโถเพิ่มขึ้นสูงประมาณ 0.1 A/cm^2 ความร้อนที่เกิด จากการชนของไอออนนากับผิวค่าโถมีมากขึ้น จะเกิดการปล่อยอิเล็กตรอนแบบเทอร์โมอิเล็กทรอนิก (Thermionic Electron Emission) เสริมกับการปลดปล่อยอิเล็กตรอนทุกภูมิค่า แต่ติดตามด้วย กระบวนการถล่มอิทธิพล ทำให้ความนำไฟฟ้าของแก๊สในระบบสูงขึ้นอย่างรวดเร็ว แรงดันไฟฟ้าระหว่างข้ออิเล็กโตรดต่อกันมากขึ้นที่กระแสไฟฟ้าเพิ่มสูงขึ้นและเปลี่ยนไปอย่างรวดเร็ว ของการอาร์ค (Arc Discharge) ภาพที่ 2-8

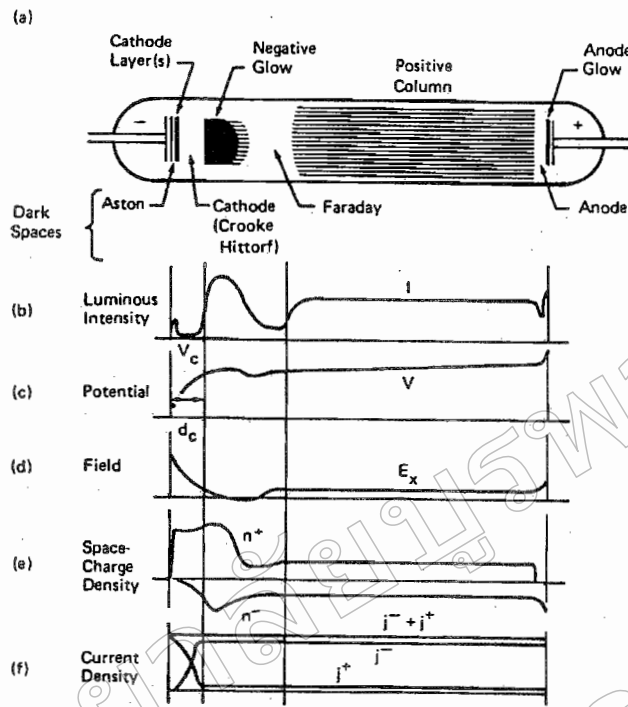


ภาพที่ 2-8 ความสัมพันธ์ของความหนาแน่นกระแสและแรงดันไฟฟ้าระหว่างข้ออิเล็กโตรดของ กระบวนการเกิด ดีซี โกลว์ดิศชาร์จ ในหลอดสูญญากาศบรรจุแก๊ส惰性 ไอออน (Vossen & Kerns, 1978)

ค่าแรงดันไฟฟ้าทะลายในกระบวนการการโกล์วิดิสชาร์จะมีค่าเปลี่ยนแปลงไปกับระยะทาง d ระหว่างอิเล็กโทรดและระยะปลดการชนระหว่างอิเล็กตรอนทุติยภูมิ และโนเมเลกูลของแก๊ส (ระยะปลดการชนของอิเล็กตรอนทุติยภูมนี้จะแปรผกผันกับความดัน และมีค่ามากกว่าระยะปลดการชนของการชนกันเองระหว่างโนเมเลกูลแก๊ส) ปกติอิเล็กตรอนทุติยภูมิแต่ละตัวมีความสามารถในการผลิตไออกอนบวกได้ระหว่าง 10 ถึง 20 ตัว เพื่อให้เกิดกระบวนการผลลัพธ์ในช่วงของอนอร์มอลโกล์ว ถ้าความดันต่ำเกินไป (ระยะปลดการชนยาวขึ้น) หรือระยะทาง d มีค่าน้อยเกินไป อิเล็กตรอนทุติยภูมิจะไม่สามารถผลิตไออกอนได้มากพอ ก่อนการชนกับอากาศ ถ้าความดันสูงเกินไป (ระยะปลดการชนสั้นลง) หรือระยะ d มากเกินไป อิเล็กตรอนทุติยภูมิไม่สามารถเพิ่มพลังงานให้กับตัวเองในสนามไฟฟ้าได้มากพอสำหรับใช้ในการไออกอน เมื่อเกิดการชนพลังงาน จะถูกถ่ายทอดให้โนเมเลกูลแก๊สในรูปการกระตุ้น (Excite) ขึ้นไปอยู่ในระดับพลังงานที่สูงขึ้นทำให้ไม่สามารถผลิตไออกอนบวกได้มากเพียงพอ เช่นกัน ดังนั้นทั้งสองกรณีจะต้องใช้แรงดันทางไฟฟ้าทะลายค่อนข้างสูง โดยมีจุดหนึ่งระหว่างนี้ที่ใช้ค่าแรงดันไฟฟ้าทะลายต่ำสุดตามกฎของปาเชน (Pachen's law) ซึ่งแสดงให้เห็นความสัมพันธ์ระหว่างแรงดันไฟฟ้าทะลายและผลคูณระหว่างความดันแก๊ส (P) และระยะระหว่างอิเล็กโทรด (d) (ภาพที่ 2-9)



ภาพที่ 2-9 ความสัมพันธ์ระหว่างแรงดันไฟฟ้าทะลายและผลคูณระหว่างความดัน (P) และระยะระหว่างอิเล็กโทรด (d) (Bunshah, 1994)



ภาพที่ 2-10 โกลว์ดิสชาร์จของหลอดนีออนยาว 50 cm ที่ความดัน 1.33 mbar (Chapman, 1980)

ในระบบสปีกเตอริงทั่วไป สภาวะของการเกิด โกลว์ดิสชาร์จจะกระทำในช่วงที่ผลคูณของความดันกับระยะห่างระหว่างอิเล็กโทรด ($P \times d$) ซึ่งมีค่าต่ำกว่าจุดต่ำสุดของกราฟมาก (เนื่องจากการเคลือบฟิล์มที่ความดันต่ำทำให้ฟิล์มที่ได้มีคุณภาพดี การแทรกตัวของแก๊สในเนื้อฟิล์มน้อยและลดปริมาณสารประกอบปนในฟิล์ม) จึงต้องการแรงดันไฟฟ้าเริ่มต้นค่อนข้างสูง บางครั้งจึงมีความจำเป็นต้องใช้การเพิ่มความดันชั่วขณะเพื่อให้เริ่มการดิสชาร์จได้ที่แรงดันไฟฟ้าต่ำ

ส่วนต่อๆ ของกระบวนการ โกลว์ดิสชาร์จ แสดงได้ดังภาพที่ 2-10 แต่ละส่วนอธิบายได้ดังนี้ ช่วงแรกคือช่วงมืดแอสตัน (Aston Dark Space) เป็นบริเวณที่อิเล็กตรอนถูกปล่อยจาก cathode ด้วยพลังงานต่ำประมาณ 1 eV ซึ่งไม่สามารถไออ่อนในชั้นเดกูลแก๊สได้ ทำให้เกิดเป็นช่วงมืด ดัดจากผิว cathode บริเวณที่มีการเปลี่ยนแปลงของความเข้มสูงมากเรียกว่า cathode glow (Cathode Glow) เป็นบริเวณที่ไออ่อนของแก๊สจาก การดิสชาร์จ และไออ่อนของอะตอมสารเคลือบ ซึ่งถูกผลิตขึ้นบริเวณ cathode มีการรวมตัวเป็นกลุ่มกับอิเล็กตรอนในชั้นเดกูลแก๊สที่ใช้ เช่น ถ้า cathode เป็นทองแดงจะมีสีเขียว ทองคำมีสีส้มแดง แก๊สอาร์กอนมีสีน้ำเงินฟ้า และแก๊สไนโตรเจนมีสีม่วง เป็นต้น

ถัดจากค่าโทค โกลว์เรียกว่าช่วงมีดครุคหรือช่วงมีดค่าโทค (Crook or Cathode Dark Space) พลังงานของอิเล็กตรอนมีค่าสูงกว่าพลังงานในการไอออกไนซ์โนมเลกูลของแก๊สมีอุกกาเร่ ผ่านสนามไฟฟ้าในระยะปลดอุบัติการชนออกมา ทำให้บริเวณปลดอุบัติการชนนั้นไม่มีกระบวนการกระตุนหรือไอออกไนซ์เกิดขึ้น การปลดปล่อยแสงจึงไม่เกิดในช่วงนี้และกลายเป็นบริเวณมีด ถัดจากระยะปลดอุบัติการชนออกไปอิเล็กตรอนทุกตัวมีจัลูญสูญเสียพลังงานส่วนใหญ่โดยการไอออกไนซ์โนมเลกูลของแก๊ส ไอออกนากที่เกิดขึ้นเคลื่อนที่ได้ช้ากว่าอิเล็กตรอนมาก ทำให้ระยะปลดอุบัติการชนของอิเล็กตรอนมีการสะสมของไอออกนากมาก (Positive Space Charge) ศักย์ไฟฟ้าเกือบทั้งหมดดักครองบริเวณค่าโทคดาวร์คสเปชนี้ ทำให้สนามไฟฟ้าบริเวณนี้สูงขึ้นมาก และมากเกินพอในการเร่งอิเล็กตรอนชนและไอออกไนซ์โนมเลกูลของแก๊สในเวลาถัดมาจึงทำให้ภายหลังการเกิดนอร์มอลโกลว์ แรงดันไฟฟ้าที่ต่อกันขึ้นอิเล็กโทรดมีค่าลดลงตามกราฟดังภาพที่ 2-8 ส่วนอิเล็กตรอนเมื่อเดยจากบริเวณที่ผลิต ไอออกนากของดาวร์คสเปชแล้วจะมีพลังงานลดต่ำลงมาก ดังนั้นพลังงานที่เหลืออีกเพียงใช้ในการกระตุนโนมเลกูลของแก๊สและเกิดการเรืองแสงขึ้น เมื่ออิเล็กตรอนจะเป็นอนุภาคที่เคลื่อนที่ได้เร็วแต่พลังงานที่เหลือน้อยมากรวมทั้งประจุบวกและประจุลบจะอยู่บนทางด้านซ้ายมือในบริเวณดาวร์คสเปชทำให้อิเล็กตรอนใช้เวลาในการเคลื่อนที่ผ่านช่วงเรืองแสงนี้นานขึ้นและเกิดการสะสมประจุบวกบริเวณนี้จึงเรียกว่า เนกเกตฟ์ โกลว์ (Negative Glow)

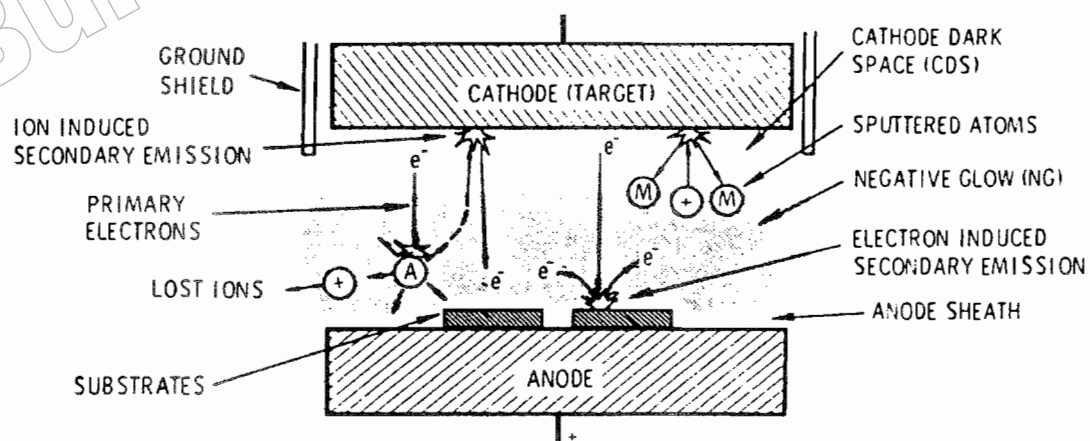
จากนั้นอิเล็กตรอนจะมีพลังงานลดลงจนไม่สามารถกระตุนโนมเลกูลแก๊สให้เปลี่ยนไปอุ่นในระดับพลังงานสูงได้ ทำให้เกิดบริเวณมีดอิกช่วงหนึ่งเรียกว่า ช่วงมีดฟาราเดย์ (Faraday Dark Space) ถัดจากช่วงนี้กระบวนการที่เกิดขึ้นคล้ายกับการคิสชาเรจของท่านเซนต์ชี้ริมานิ ที่อิเล็กตรอนค่อนข้างคงที่อุกกาเร่ภายใต้สนามไฟฟ้าค่าต่ำๆ ทำให้อิเล็กตรอนถูกเร่งเข้าสู่อาโนด และมีพลังงานสูงพอสำหรับการกระตุนโนมเลกูลของแก๊สหรือไอออกไนซ์และเกิดการเรืองแสงขึ้นที่บริเวณนี้อิกครั้งหนึ่ง อิเล็กตรอนซึ่งเคลื่อนที่เร็วจะถูกความเข้าสู่อาโนดอย่างรวดเร็วทำให้พลาสมาบริเวณนี้มีประจุบวกสูงกว่าจึงเรียกว่า ลำเรืองแสงศักย์ไฟฟ้าบวก (Positive Glow Column)

เนื่องจากการรักษาสภาพโกลว์ดิสชาเรจขึ้นกับปริมาณของอิเล็กตรอนที่ถูกผลิตขึ้น บริเวณค่าโทคจากการชนของไอออกนากที่ถูกผลิตบริเวณนาทีฟ์โกลว์ จึงพบว่าการเปลี่ยนแปลงตำแหน่งอาโนดเพียงเล็กน้อยจะไม่มีผลต่อกระบวนการโกลว์ดิสชาเรจ เมื่อเลื่อนอาโนดเข้าหาค่าโทค จนพื้นช่วงมีดฟาราเดย์ เข้าสู่นาทีฟ์โกลว์จนลึกลงช่วงค่าโทคดาวร์คสเปช ทำให้ปริมาณไอออกนากที่ถูกผลิตจากอิเล็กตรอนทุกตัวมีปริมาณน้อยลง การรักษาสภาพโกลว์ดิสชาเรจไว้ จำเป็นต้องใช้แรงดันไฟฟ้าที่สูงขึ้นซึ่งจะส่งผลถึงปริมาณไอออกนากที่ถูกผลิตสูงขึ้นด้วย การโกลว์ในลักษณะนี้จะเรียกว่า ออปสตรัค โกลว์ (Obstructed Glow) และเมื่อเลื่อนอาโนดเข้าใกล้ค่าโทคต่ำมา

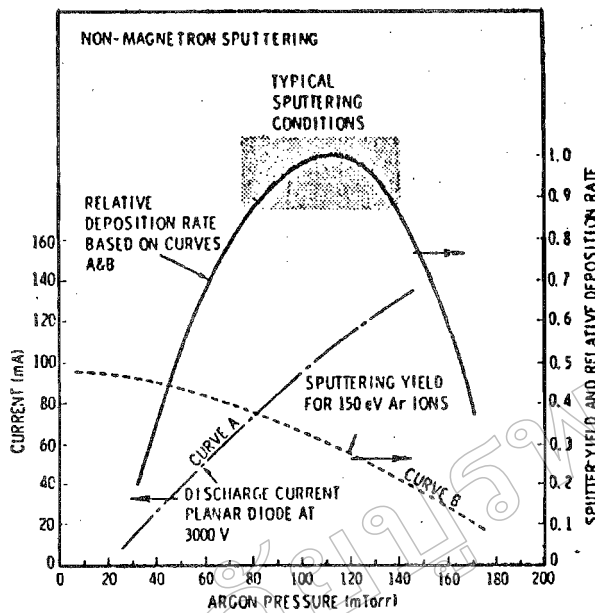
งานพื้นของของ กาトイค คาร์คสเปช ซึ่งมีระยะสั้นกว่าระยะปลอดการชนของอิเล็กตรอน จะไม่มีการผลิตไออ่อนเกิดขึ้นและกระบวนการคิดสารจะไว้ได้ และถ้าหากมีสิ่งสกปรกบริเวณกาトイค การอาร์คอาจเกิดขึ้นได้โดยไม่เกิดการโกลว์คิดสารจะเกิด

ระบบเคลือบแบบดีซีสปัตเตอริง

ภาพที่ 2-11 แสดงระบบเคลือบแบบดีซีสปัตเตอริง อย่างง่ายที่สุด (พิเชยู ลิมสุวรรณ และชนัสตา รัตนะ, 2547; Bunshah, 1982; Smith, 1995) ซึ่งประกอบด้วยกาトイค คือ แผ่นเป้าสารเคลือบและอาโนด คือ ที่วางวัสดุองรับหรือชิ้นงานที่ต้องการเคลือบ ปกติระยะห่างระหว่างกาトイคและวัสดุองรับจะอยู่ระหว่าง 4 - 10 cm เพื่อป้องกันการสูญเสียอะตอมสารเคลือบที่ผ่านของกานะ สูญญากาศ โดยทั่วไประยะคาร์คสเปช อยู่ระหว่าง 1 - 4 cm โดยอาโนดจะอยู่บริเวณแกนไฟฟ้าโกลว์ ส่วนอุปกรณ์ทำงานจะอยู่ในช่วงแอบนอร์มอล โกลว์คิดสาร แก๊สที่ใช้เป็นแก๊สเฉื่อยชี้ให้ลดลง และไม่ทำปฏิกิริยากับสารเคลือบ (ปกติใช้แก๊สอาร์กอน) ขณะเกิด โกลว์คิดสารที่ความดันค่านึง กระบวนการไออ่อนในเข็มจะรักษาสภาพโกลว์คิดสารไว้ทราบที่ระยะคาร์คสเปช ไม่มากกว่าระยะห่างระหว่างกาトイคและอาโนด เมื่อความดันลดลงหรือแรงดันไฟฟ้าระหว่างอิเล็กโตรดสูงขึ้น ระยะปลอดการชนของอิเล็กตรอนจะสูงขึ้น ทำให้ระยะคาร์คสเปชขยายตัวออกและแหล่งผลิตไออ่อนในระบบมีปริมาตรขนาดใหญ่และลดลงและอะตอมที่ถูกสปัตเตอร์มีปริมาณลดลงตามปริมาณของไออ่อนและกระแสไฟฟ้าในระบบ ที่ความดันต่ำกว่า 10^{-2} mbar ระยะคาร์คสเปชจะยาวกว่าระยะห่างอิเล็กโตรด และกระแสไฟฟ้าลดลงสู่ศูนย์ ทำให้กระบวนการผลิตไออ่อนสิ้นสุดลงและไม่มีอะตอมหลุดออกจากเป้าสารเคลือบเนื่องจากการสปัตเตอร์ออก



ภาพที่ 2-11 ระบบเคลือบแบบดีซีสปัตเตอริง (Bunshah, 1994)



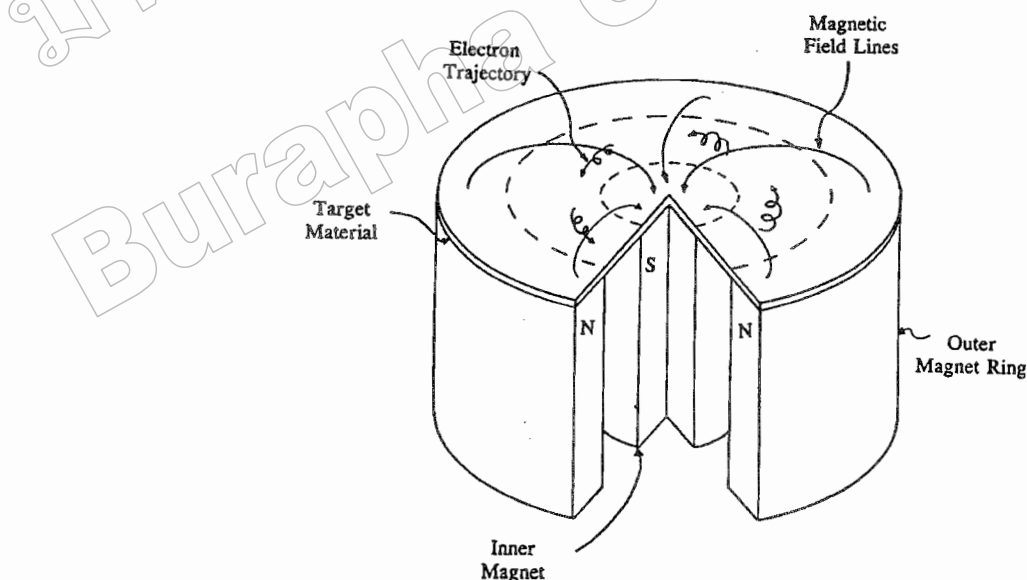
ภาพที่ 2-12 ผลของความดันในระบบที่มีผลต่ออัตราเคลื่อน ค่าyield และกระแสไฟฟ้าในระบบสปัตเตอร์ริงของนิเกิลที่ใช้แรงดันไฟฟ้า 3,000 V ระหว่างขั้วอิเล็กโทรด ที่ห่างกัน 4.5 cm (Vossen & Kerns, 1978)

ขณะที่ความดันสูงขึ้นจะลดลง ค่า deposition rate และ discharge current จะลดลง แต่ yield จะเพิ่มขึ้น ดังภาพที่ 2-12 เส้นกราฟ A ขณะที่ความดันภายในห้องสปัตเตอร์ริงก็จะเพิ่มขึ้น แต่ discharge current ลดลง ขณะที่ความดันภายในห้องสปัตเตอร์ริงก็จะเพิ่มขึ้น แต่ yield จะเพิ่มขึ้น ดังภาพที่ 2-12 เส้นกราฟ B ผลรวมระหว่าง yield และ deposition rate จึงทำให้อัตราการเคลื่อน มีค่าสูงสุดที่ความดันค่านี้ ที่ห่างกัน 4.5 cm ในแก๊สรากอน การเคลื่อนจะหยุดที่ความดันมีค่าต่ำกว่า 2.6×10^{-4} mbar และที่ความดันสูงกว่า 1.6×10^{-5} mbar โดยอัตราเคลื่อนจะมีค่าสูงสุดและลดลงเมื่อความดันสูงเกินค่านี้ ดังนั้น บริเวณที่เหมาะสมกับกระบวนการสปัตเตอร์ริงคือบริเวณที่ให้อัตราเคลื่อนสูงและประสิทธิภาพดีที่สุด จากภาพที่ 2-10 พบว่าความดันที่เหมาะสมสำหรับการเคลื่อนคือ 1.0×10^{-5} mbar ความหนาแน่นกระแสประมาณ 1.0 mA/cm^2 ด้วยอัตราเคลื่อน $0.036 \mu\text{m/min}$ ซึ่งเป็นอัตราเคลื่อนที่ค่อนข้างต่ำในขณะที่ใช้แรงดันไฟฟ้าค่อนข้างสูง (พิเชยชู ลิมสุวรรณ และธนสสา รัตนะ, 2547)

ระบบเคลื่อนแบบดีซีแมกนีตرونสปัตเตอริง

อัตราการเกิดสปัตเตอริงนั้นจะขึ้นกับผลคูณระหว่างยิลเด็และปริมาณไออกอนที่ว่างบนเปลี่ยนสารเคลื่อน ดังนั้นการเพิ่มอัตราการสปัตเตอร์นั้นออกจากจะทำได้โดยการเพิ่มยิลเด็แล้วบังทำได้โดยการเพิ่มปริมาณไออกอนที่ว่างเข้าบนเปลี่ยนสารเคลื่อน ซึ่งในระบบดีซีสปัตเตอริง ปกตินั้น ทำได้เพียงการเพิ่มแรงดันไฟฟ้าระหว่างอิเล็กโทรด หรือเพิ่มความดันซึ่งจะมีข้อจำกัดสูงสุดที่ ความหนาแน่นกระแสประมาณ 1 mA/cm^2 และความดันประมาณ $1.33 \times 10^{-5} \text{ mbar}$ นอกจากนี้ยังพบว่าในระบบดีซี สปัตเตอริง ทั่วไปจะต้องของแก๊สที่จะเกิดการไออกอีนซึ่มีค่าน้อยกว่า 1% นอกจากนี้ยังมีข้อเสียเมื่อความดันสูงขึ้นจะทำให้ปริมาณแก๊สที่แทรกตัวในฟิล์มนางที่ได้มีค่าสูงด้วย (พิเชยฐ์ ลีมสุวรรณ และธนัสสา รัตนะ, 2547)

ต่อมาในการพัฒนาระบบใหม่เรียกว่า ระบบดีซีแมกนีตرونสปัตเตอริง (พิเชยฐ์ ลีมสุวรรณ และธนัสสา รัตนะ, 2547; Bunshan, 1994; Smith, 1995) ซึ่งเป็นการใช้ชื่อใหม่เหล็กช่วย โดยจ่ายชื่อใหม่เหล็กให้มีทิศทางกับผิวน้ำเปลี่ยนสารเคลื่อนและมีทิศตั้งฉากกับชื่อใหม่ไฟฟ้า ซึ่งจะช่วยเพิ่มระยะทางเดินของอิเล็กตรอนให้ยาวขึ้น โดยอันจากของชื่อใหม่เหล็กจะทำให้อิเล็กตรอนเคลื่อนที่เป็นทางโค้ง (ภาพที่ 2-13) ทำให้การไออกอีนนี้องจากการชนระหว่างอิเล็กตรอนกับอะตอมแก๊สเฉื่อยมีค่าสูงขึ้นซึ่งจะทำให้อัตราการสปัตเตอร์สูงขึ้นด้วย



ภาพที่ 2-13 การเคลื่อนที่ของอนุภาคอิเล็กตรอนในชื่อใหม่เหล็ก (Rickerby & Matthews, 1991)

ทั้งนี้จากการศึกษาการเคลื่อนที่ของอิเล็กตรอนในสนามแม่เหล็ก พบร่องรอยอิเล็กตรอนมีทิศทางการเคลื่อนที่ตั้งฉากกับสนามแม่เหล็ก อิทธิพลของสนามแม่เหล็กจะทำให้อุบัติประจุนี้เคลื่อนที่ในแนววงกลม (ภาพที่ 2-14 (a)) ด้วยรัศมี

$$r = \frac{3.37 \sqrt{W}}{B} \quad (2-2)$$

เมื่อ W คือพลังงานของอิเล็กตรอนในหน่วย eV

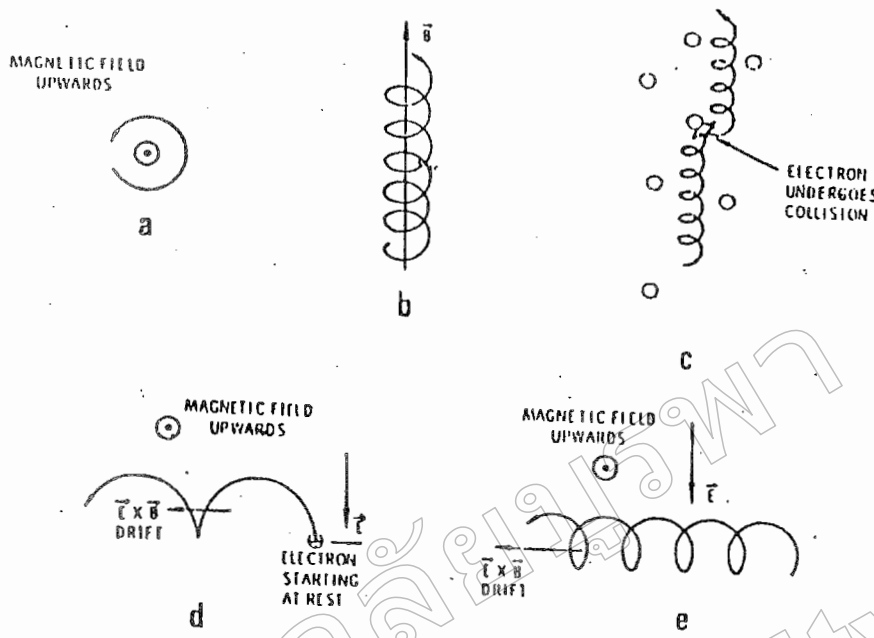
B คือความเข้มสนามแม่เหล็กในหน่วย gauss หมุนด้วยความถี่โดยคลื่น $v = 2.8 \times 10^6 \text{ Hz}$

ถ้าพลังงานเฉลี่ยของอิเล็กตรอนในแนวตั้งฉากกับสนามแม่เหล็กมีค่า 10 eV และสนามแม่เหล็กมีค่าความเข้ม 100 gauss รัศมีการหมุนมีค่าเท่ากับ 0.1 cm ด้วยความถี่การหมุนเท่ากับ $2.8 \times 10^8 \text{ Hz}$ ภาพที่ 2-14 (b) แสดงอิเล็กตรอนมีความเร็วส่วนหนึ่งในแนวขวางกับสนามแม่เหล็ก อิเล็กตรอนจะเคลื่อนที่หมุนคลื่นรอบแนวสนามแม่เหล็กด้วยจำนวนเส้นแรงคงที่ค่าหนึ่งระหว่างนี้ถ้าอิเล็กตรอนชนกับอะตอมแก๊ส ภาพที่ 2-14 (c) แนวการหมุนคลื่นรอบสนามแม่เหล็กจะเปลี่ยนไปถ้าอิเล็กตรอนเคลื่อนที่ภายในสนามแม่เหล็กและสนามไฟฟ้าซึ่งมีทิศทางตั้งฉากกัน จำนวนของสนามทั้งสองนอกจากจะทำให้อิเล็กตรอนเคลื่อนที่ในแนวโถงแล้วยังสามารถทำให้เกิดการเคลื่อนที่ในแนวตั้งฉากกับสนามแม่เหล็กและสนามไฟฟ้าเรียกว่าการเคลื่อนที่แบบลอยเดื่อง (Drift motion) นิค่าเท่ากับ

$$V_E = \frac{10^8 E}{B} \quad (2-3)$$

เมื่อ E คือสนามไฟฟ้าหน่วยเป็น V/cm

B คือความเข้มสนามแม่เหล็กในหน่วย gauss

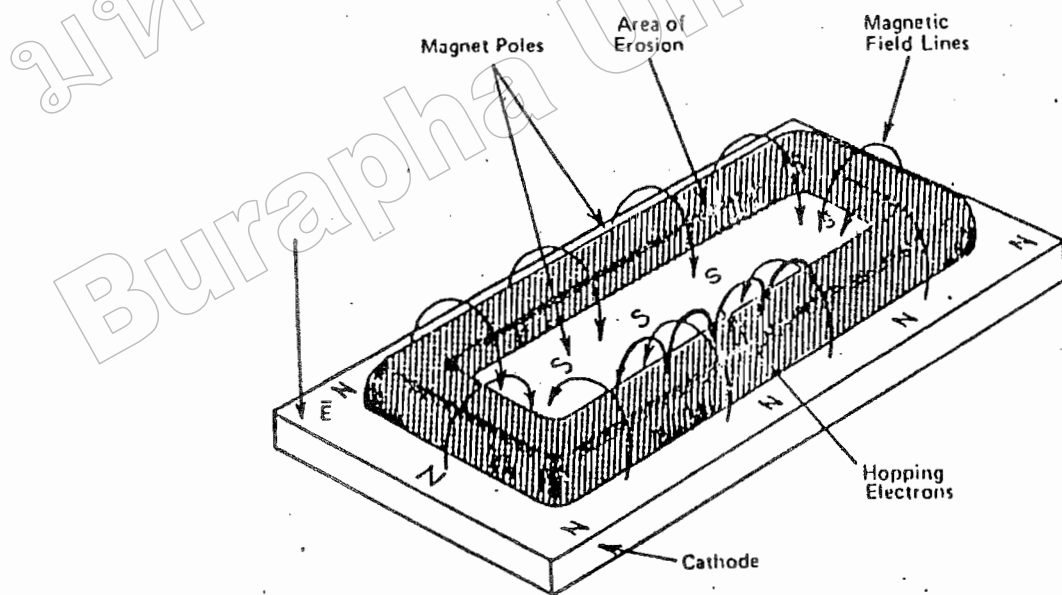


ภาพที่ 2-14 การเคลื่อนที่ของอนุภาคในสนามต่าง ๆ โดยที่ a, b, c เป็นการเคลื่อนที่ของอนุภาคประจุในสนามแม่เหล็กอย่างเดียวส่วน d และ e เป็นการเคลื่อนที่ของอนุภาคประจุในสนามแม่เหล็กและสนามไฟฟ้าร่วมกันในลักษณะต่าง ๆ (Bunshah, 1994)

กรณีสนามไฟฟ้าบริเวณด้าวคัร์คสเปชนีค่าประมาณ $1,000 \text{ V/cm}$ และสนามแม่เหล็กมีค่าประมาณ 100 gauss จะให้ค่าความเร็วรอยเลื่อน (Drift Velocity) เท่ากับ 107 m/s ซึ่งเป็นค่าที่ค่อนข้างสูงกรณีพลังงานเริ่มต้นของอิเล็กตรอนมีค่าน้อยเมื่อเทียบกับพลังงานที่ได้รับจากสนามไฟฟ้า การเคลื่อนที่ของอิเล็กตรอนจะเป็นรูป Cycloid ดังภาพที่ 2-14 (d) ถ้าอิเล็กตรอนมีพลังงานเริ่มต้นสูงกว่าพลังงานที่ได้รับจากสนามไฟฟ้า การเคลื่อนที่แบบลอยเลื่อน จะอยู่ในแนววงกลมซ้อนกันดังแสดงในภาพที่ 2-14 (e) พฤติกรรมที่ปรากฏต่ออิเล็กตรอนนี้จะเด่นชัดมากถึงเมื่อใช้สนามแม่เหล็กมีค่าน้อย ๆ ระหว่าง $50 - 500 \text{ gauss}$ แต่จะมีผลในการเบี่ยงเบนแนวทางเดินของไอออน (ซึ่งมีมวลสูงกว่าอิเล็กตรอนมาก) อย่างไม่เด่นชัด

ระบบสปีตเตอริงที่ใช้สนามแม่เหล็กช่วยเพิ่มปริมาณไอออนนั้น ถ้าสนามแม่เหล็กมีพิศทางบนนากับสนามไฟฟ้าจะเรียกว่า สนามตามยาว (Longitudinal Field) จะทำให้ประสิทธิภาพการเพิ่มไอออนไม่สูงนักแต่ไม่ทำให้แนวการเกิดโกลว์ดิสชาร์จเปลี่ยนแปลงไปและยังสามารถรักษาความสม่ำเสมอของฟิล์มนางไว้ได้ดี กรณีของสนามแม่เหล็กตั้งฉากกับสนามไฟฟ้าเรียกว่า สนามตามขวาง (Transverse Field) โดยกระบวนการเพิ่มปริมาณไอออนเกิดขึ้นดังนี้ หลังจากที่

ไอออนบวกชนกับเป้าสารเคลือบและเกิดการปลดปล่อยอิเล็กตรอนชุดที่สองของมา อิเล็กตรอนชุดที่สองจะเคลื่อนที่ในลักษณะเดียวกับภาพที่ 2-14 (d) ทำให้อิเล็กตรอนถูกกักอยู่ในบริเวณสนามแม่เหล็กไกล์ค่าโตก และเคลื่อนที่แบบลอยเลื่อน ตามแนวพิวหน้าของค่าโตก (ภาพที่ 2-15) ทำให้อิเล็กตรอนมีโอกาสชนกับโนเมเลกุลแก๊สบริเวณพิวหน้าเป้าสารเคลือบมากขึ้นจนเพิ่มปริมาณไอออนสูงมาก ไกล์พิวเป้าสารเคลือบ อิเล็กตรอนตัวใดที่ไม่ชนโนเมเลกุลของแก๊สจะเดินทางเป็นวงโค้งเข้าชนเป้าสารเคลือบและผลิตอิเล็กตรอนชุดที่สองมากขึ้นเป็นผลทำให้ไอออนถูกผลิตในปริมาณสูงมากและเกิดไกล์พิวค่าโตก ทำให้เกิดสเปซชาร์จากไอออนบวกสูงที่พิวค่าโตก ซึ่งอาจสั้นกว่าระยะปลดการชน ในดีซี สปีดเตอริงที่ความดันใช้งานมากแรงเคลื่อนไฟฟ้าเก็บห้องหมุดจะตกร่วมบริเวณนี้และมีค่าสนามไฟฟ้าสูงกว่าบริเวณดาร์คสเปซในดีซีสปีดเตอริง ขณะไม่มีสนามแม่เหล็กมากทำให้ความต้องการแรงดันไฟฟ้าระหว่างขั้วอิเล็กโทรดของระบบแมกนีตรอนสปีดเตอริง ลดลงทั่วไปมีค่าประมาณ 300 - 800 V ถ้าใช้สนามแม่เหล็กกับแมกนีตรอนทรงกระบอก จะเรียกว่า แมกนีตรอนสปีดเตอริงทรงกระบอก (Cylindrical Magnetron Sputtering) และถ้าใช้สนามแม่เหล็กกับระบบดีซีสปีดเตอริงที่ใช้เป้าแบบแผ่นราบจะเรียกว่า พลานาร์แมกนีตรอนสปีดเตอริง (Planar Magnetron Sputtering)



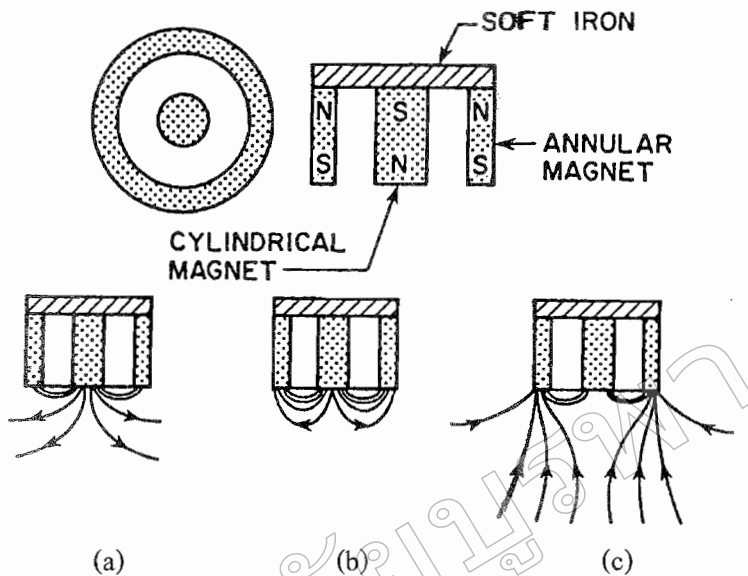
ภาพที่ 2-15 การจัดสนามแม่เหล็กและแนวการกัดกร่อนของเป้าสารเคลือบในระบบพลาnar
แมกนีตรอนสปีดเตอริง (Chapman, 1980)

ประสิทธิภาพการเพิ่มไอออนที่สูงมากในระบบแมกนีตรอนและพลาสม่าที่เกิดขึ้นจะเข้มมากบริเวณเป้าสารเคลือบทำให้อัตราการสปัตเตอร์ของระบบนี้มีค่าสูง ขณะที่ความดันในระบบจะมีค่าต่ำแรงดันไฟฟ้าระหว่างอิเล็กโตรดมีค่าเกือบคงที่ที่ทุกค่าของอัตราการสปัตเตอร์ แมกนีตรอน สปัตเตอริง ทรงกระบอกทั่วไปมีอัตราการสปัตเตอร์สูงกว่า $1.0 \mu\text{m}/\text{min}$ และมีอัตราเคลือบสูงกว่า $0.2 \mu\text{m}/\text{min}$ ความหนาแน่นกระแสที่ผิวคาด ประมาณ 20.0 mA/cm^2 แรงดันไฟฟ้าระหว่างอิเล็กโตรดมีค่าระหว่าง $300 - 800 \text{ V}$ ที่ความดันประมาณ $5.33 \times 10^{-5} \text{ mbar}$ ประสิทธิภาพการเคลือบสูงขึ้นกว่า 10 เท่าตัว นอกจากนี้ยังสามารถขยายสเกลให้กับระบบสปัตเตอริงขนาดใหญ่ได้ง่ายเมื่อออกแบบใช้งานร่วมกับไตรโอดสปัตเตอริง ระบบสามารถเคลือบได้ที่ความดันต่ำถึง 10^{-5} mbar

ระบบเคลือบแบบอันนาลานซ์แมกนีตรอนสปัตเตอริง

ในการเคลือบฟิล์มพบว่าถ้าระดุมยิงไอออนระหว่างการเกิดฟิล์มจะเป็นการเปลี่ยนแปลงฟิล์มหลายอย่าง เช่น พฤติกรรมการเกิดนิวเคลียส (Nucleation Behaviour) สัณฐานวิทยา (Morphology) องค์ประกอบ (Composition) ทิศทางการจัดเรียงตัว และสมบัติเชิงกล เป็นต้น ในกรณีแมกนีตรอน สปัตเตอริง ไอออนที่ใช้ในการระดุมยิงวัสดุรองรับจะมาจากประจุไฟฟ้าที่อยู่รอบวัสดุรองรับ ซึ่งทำได้โดยการนำศักย์ลงประมาณ $1 - 500 \text{ V}$ ให้กับวัสดุรองรับ อุ่นไว้ก็ได้ ความหนาแน่นกระแสที่ฟิล์มหรือผิวน้ำของวัสดุรองรับ สำหรับระบบดีซี แมกนีตรอน ปกติจะมีค่าต่ำประมาณ $0.05 - 0.10 \text{ A/cm}^2$ ไอออน/อะตอมสารเคลือบ แต่การใช้งานจริงต้องมีค่าสูงกว่านี้ (Rohde & Munz, 1991)

สำหรับการเคลือบแข็ง (Hard coating) ฟิล์มบางที่ต้องการนั้นจะต้องมีช่องว่าง (Voids) ในเนื้อฟิล์มน้อยที่สุด ซึ่งจะทำให้ฟิล์มบางที่ได้นั้นมีความทนต่อการกัดกร่อน (Corrosion) และทนต่อการขัดสี (Wear Resistance) มากยิ่งขึ้น โดยการลดช่องว่างในเนื้อฟิล์มนี้สามารถทำได้โดยการเพิ่มความต่างศักย์ไปแอสให้กับวัสดุรองรับ แต่ก็จะทำให้เกิดความเส้นและความบกพร่อง (Defects) ภายในกราน (Grain) ของฟิล์มมากขึ้นเมื่อความต่างศักย์ไปแอสเพิ่มขึ้นด้วย ซึ่งจะทำให้คุณภาพของฟิล์มและการยึดติดของฟิล์มกับวัสดุรองรับลดลง ปัญหานี้สามารถแก้ได้โดยการเพิ่มความหนาแน่นของกระแสไอออน (อัตราส่วนของไอออน/อะตอมสารเคลือบ) ซึ่งสามารถทำได้โดยใช้ระบบเคลือบแบบอันนาลานซ์ แมกนีตรอน สปัตเตอริง (Unbalanced Magnetron Sputtering) (Rohde & Munz, 1991; Sproul, 1992)

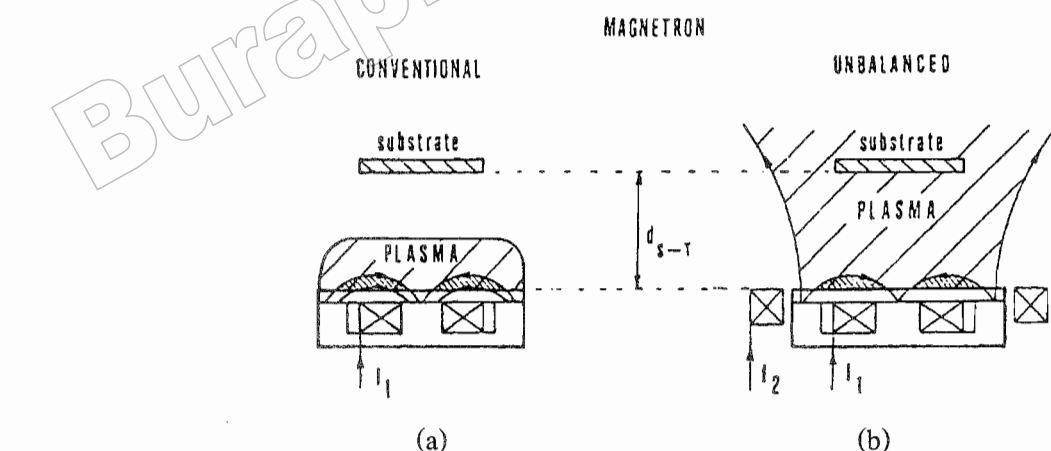


ภาพที่ 2-16 ลักษณะเส้นแรงแม่เหล็กของระบบอันบาลานซ์แมgnิตอรอนสปีดเตอริง

(Rickerby & Matthews, 1991)

ระบบอันบาลานซ์แมgnิตอรอนสปีดเตอริง ได้รับการคิดค้นและพิมพ์เผยแพร่โดย Window และ Savvides ครั้งแรกในปี ก.ศ. 1986 โดยทั้งสองพูดว่าการติดตั้งแม่เหล็กที่ค่าโถดของระบบสปีดเตอริงปกตินั้น ถ้าหากทำให้ความเข้มของสนามแม่เหล็กด้านใดด้านหนึ่งมากหรือน้อยกว่าอีกด้านหนึ่งแล้วสนามแม่เหล็กที่ค่าโถดจะมีลักษณะไม่สมมาตร ทำให้ปริมาณไออกอนที่วิ่งเข้าชนหรือระดมยิ่งวัสดุรองรับนั้นมีปริมาณเพิ่มขึ้นมากกว่าปกติ ซึ่งจะมีผลต่อคุณภาพของฟิล์ม โดยตรงการจัดแม่เหล็กของระบบนี้อาจแบ่งเป็น 3 แบบ คือความเข้มสนามของแม่เหล็กที่ด้านในมากกว่าด้านนอก (ภาพที่ 2-16 (a)) หรือกลับกัน (ภาพที่ 2-16 (c)) หรือใกล้เคียงกัน (ภาพที่ 2-16 (b)) ถ้าจัดแม่เหล็กตามภาพที่ 2-16 (a) ไออกอนที่ระดมยิ่งวัสดุรองรับจะมีค่าต่ำ (อัตราส่วนไออกอน/ อะตอมสารเคลื่อนประมาณ 0.25 : 1) ส่วนการจัดแม่เหล็กตามภาพที่ 2-16 (c) ไออกอนที่ระดมยิ่งวัสดุรองรับจะมีค่าเพิ่มมากขึ้นทำให้อัตราส่วนไออกอน/ อะตอมสารเคลื่อนมีค่าสูงขึ้นคือประมาณ 2 : 1 (เมื่อใช้ความต่างศักย์ไฟฟ้าต่ำ) ปัจจุบันมีนักวิจัยหลายกลุ่มที่นำแนวคิดนี้ไปประยุกต์ใช้อย่างแพร่หลาย ซึ่งมีทั้งที่ใช้แม่เหล็กแบบดาวรและแม่เหล็กไฟฟ้า จากการศึกษาของ Musil และ Kadlec ที่ระบบเคลื่อนใช้อันบาลานซ์พลานาร์แมgnิตอรอนเดียวและคลาวด์แม่เหล็กไฟฟ้า 2 ชด เคลื่อนไฟฟ้าเนื่องในไตรค์ที่ระยะเป้าสารเคลื่อนและวัสดุรองรับประมาณ 200.0 mm โดยใช้ความต่างศักย์ไฟฟ้าต่ำในช่วง -5 ถึง -100 V พนว่าสามารถทำให้ได้ความหนาแน่นกระแสสูงถึง 6.0 mA/cm^2 ซึ่งสูงมากพอสำหรับใช้ในงานอุตสาหกรรม (Munz, 1991)

หากพิจารณาเปรียบเทียบระบบสปัตเตอริงทั้ง 3 ระบบจะพบว่าในกรณีระบบสปัตเตอริงปกตินี้อิเล็กตรอนที่เกิดจากการไออ่อนในชั้นจลงไปจับที่อาโนดโดยไม่เกี่ยวข้องกับกระบวนการสปัตเตอร์เลย ดังนั้นเพื่อให้ระบบสปัตเตอริงมีประสิทธิภาพมากขึ้นจึงมีแนวคิดที่จะนำอิเล็กตรอนเหล่านี้เข้ามาช่วยในการกระบวนการสปัตเตอร์ซึ่งทำได้โดยการใช้สนามแม่เหล็กช่วยจึงเกิดระบบแมgnิตรอน สปัตเตอริง ซึ่งเป็นที่ใช้สนามแม่เหล็กช่วยทำให้เกิดอิเล็กตรอนบริเวณหน้าคากอต เพิ่มขึ้นเนื่องจากอิเล็กตรอนเหล่านี้จะมีส่วนช่วยทำให้กระบวนการสปัตเตอริงคงอยู่อย่างต่อเนื่อง จากจำนวนของสนามแม่เหล็กจะทำให้อิเล็กตรอนเคลื่อนที่เป็นทางโค้งทำให้เกิดการไออ่อนในชั้นตอๆ แก่สิ่งของสูงขึ้น นอกจากนี้สนามแม่เหล็กและสนามไฟฟ้าช่วยทำให้การเคลื่อนที่ของ อิเล็กตรอนที่วิ่งเข้าชนเป้าสารเคลื่อนมีลักษณะเป็นการชนแบบซ้ำๆ ต่อเนื่องกันทำให้เกิด อิเล็กตรอนชุดที่สองออกมายังพรมามากขึ้นซึ่งทำให้เกิดการสปัตเตอร์รูนากตามไปด้วย แต่ก็ยังมี อิเล็กตรอนบางส่วนที่มีพลังงานสูงซึ่งสามารถกระเด็นออกจากอุปกรณ์ของสนามแม่เหล็กนี้ได้ซึ่งจะ วิ่งเข้าหาขั้วอาโนดโดยทันที สำหรับในระบบอันบาลานซ์ แมgnิตรอน สปัตเตอริง นั้นอิเล็กตรอน พลังงานสูงที่หลุดออกจากสนามแม่เหล็กจะถูกยึดไว้ด้วยเด็นเรงแม่เหล็กส่วนเกินของระบบแล้ว เคลื่อนที่เป็นทางโค้งไปตามเด็นเรงแม่เหล็กเข้าชนกับอุปกรณ์ของแก๊สเหลืออยและเกิดการไออ่อนในชั้น เป็นพลาสม่าชุดที่สองบริเวณผิวน้ำของวัสดุรองรับทำให้ความหนาแน่นกระแสที่วัสดุรองรับมีค่า สูงมากกว่าในระบบแมgnิตรอน สปัตเตอริง ปกติมาก (ประมาณ $5.0 - 10.0 \text{ mA/cm}^2$ ปกติมีค่าน้อย กว่า 1.0 mA/cm^2) โดยพลาสม่าที่เกิดขึ้นนี้จะมีส่วนช่วยในการเคลื่อนฟิล์มที่เรียกว่า Ion-Assisted Deposition ซึ่งจะให้ฟิล์มบางที่ได้นั้นมีความหนาแน่นสูงและมีการยึดติดคิดมาก (Munz, 1991)

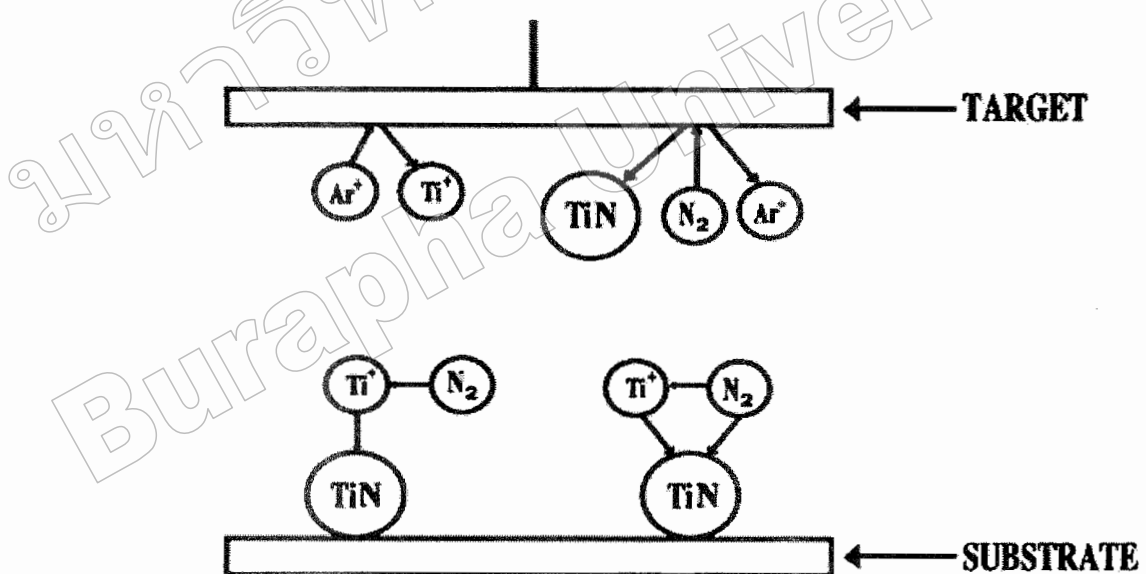


ภาพที่ 2-17 ลักษณะพลาสมาระบบที่สปัตเตอริง (Munz, 1991)

- (a) ระบบบาลานซ์แมgnิตรอนสปัตเตอริง
- (b) ระบบอันบาลานซ์แมgnิตรอนสปัตเตอริง

การเคลือบฟิล์มบางด้วยวิธีรีแอคตีฟสปัตเตอริง

สำหรับกระบวนการรีแอคตีฟสปัตเตอริง (Reactive Sputtering) มติ ห่อประทุม (2548) ได้อธิบายไว้ว่า เป็นกระบวนการสปัตเตอริงที่มีการป้อนแก๊สไวปฎิกิริยา (Reactive Gas) เข้าสู่ระบบ เพื่อให้เกิดสารประกอบของฟิล์มตกเคลือบบนชิ้นงานหรือวัสดุรองรับ การสปัตเตอร์ที่มีเป้าสารเคลือบเป็นโลหะบริสุทธิ์ โดยการป้อนแก๊สไวปฎิกิริยา จะทำให้เกิดสารประกอบต่าง ๆ ของโลหะ ได้ เช่น การป้อนแก๊สไนโตรเจนอาจทำให้เกิดโลหะในไตร์ ถ้าป้อนแก๊สอะเซทิลีน (C_2H_2) หรือ มีเทน (CH_4) อาจเกิดเป็นสารประกอบของโลหะคาร์บไบด์ เป็นต้น โดยปกติความดันแก๊สไวปฎิกิริยาที่ใช้ค่อนข้างต่ำจนไม่เพียงพอต่อการเกิดปฏิกิริยานิสภาวะปกติอย่างไรก็ตามคาดกันว่า อิเล็กตรอนในพลาสม่าที่มีส่วนในการกระตุ้นหรือไอออนในแก๊สไวปฎิกิริยาให้มีความสามารถในการทำปฏิกิริยากับโลหะ ได้สูงกว่าสภาวะปกติ โดยแก๊สไวปฎิกิริยา เช่น แก๊สไนโตรเจน (N_2) อาจรวมตัวกันกับโลหะ เช่น ไททาเนียม (Ti) และเกิดเป็นสารประกอบไททาเนียมในไตรค์ (TiN) ตามภาพที่ 2-18 ได้เป็น 3 ลักษณะ ดังนี้



ภาพที่ 2-18 การเกิดปฏิกิริยารวมตัวกันเป็นสารประกอบระหว่างแก๊สไวปฎิกิริยา กับ อะตอม เป้าสารเคลือบในบริเวณต่าง ๆ (มติ ห่อประทุม, 2548)

1. แก๊สไวปภิริยาเข่นแก๊สในโตรเจนทำปฏิกิริยากับอะตอมไททาเนียมที่ผิวน้ำเป็นของสารเคลือบกลาวยเป็นสารประกอบไททาเนียมในไตรด์แล้วถูกสปีตเตอร์ให้หลุดออกแล้ว ตกเคลือบลงบนแผ่นวัสดุรองรับ ปภิริยาส่วนนี้เกิดขึ้นสูงเมื่อความดันย่อลดของแก๊สไวปภิริยาในระบบมีค่าสูง พบว่า ในการเคลือบไททาเนียมในไตรด์บนฟิล์มเคลือบที่ป้าสารเคลือบ ส่วนที่มีอัตราการสปีตเตอร์ต่ำจะปราศจากฟิล์มของสีทองไททาเนียมบริเวณนั้น ปราศจากการณ์นี้เรียกว่า Target Poisoning มีผลทำให้อัตราการเคลือบลดลง

2. แก๊สไวปภิริยาเข่นแก๊สในโตรเจนรวมตัวกับอะตอมไททาเนียมที่ถูกสปีตเตอร์ในระหว่างทางวิ่งสู่แผ่นวัสดุรองรับแล้วตกเคลือบลงบนแผ่นวัสดุรองรับ กระบวนการนี้ในทางทฤษฎี ถือว่าเกิดได้น้อยมากเนื่องจากสภาวะของการทำปฏิกิริยาไม่เหมาะสมตามกฎอนุรักษ์พลังงานและไม่มั่นคง แต่เป็นไปได้ที่การรวมตัวของสารประกอบจะเกิดในช่วงนี้

3. แก๊สไวปภิริยาเข่นแก๊สในโตรเจนรวมตัวกับไททาเนียมบนผิววัสดุรองรับหรือชั้นงาน การทำรีแอคตีฟ สปีตเตอริง โดยทั่วไปความดันแก๊สไวปภิริยาที่เหมาะสมต่อการเกิดสารประกอบที่ต้องการมีค่าต่ำกว่าช่วงที่เกิดขบวนการ โกลว์ดิษชาร์จ ในกระบวนการจึงใช้แก๊สไวปภิริยาดักแก๊สเหลืออย่างให้รักษาสภาวะ โกลว์ดิษชาร์จไว้ได้ในเวลาเดียวกันช่วยให้อัตราเคลือบสูงขึ้น ในการทำรีแอคตีฟ สปีตเตอริง ยังมีสิ่งที่ต้องคำนึงถึงคือความดันย่อลดของแก๊สไวปภิริยา ต้องมีค่าพอดีกับการเกิดฟิล์มสารประกอบที่ต้องการ เช่น การเคลือบสารประกอบ Ferroferric Oxide (Fe_3O_4) ความดันแก๊สออกซิเจนที่ใช้ในรีแอคตีฟ สปีตเตอริง ถูกจำกัดในช่วงความดันแคบมาก ถ้าความดันย่อลดของแก๊สออกซิเจนมากไปจะเกิดสารประกอบของ Ferric Oxide (Fe_2O_3) ถ้าน้อยเกินไปจะเกิดสารประกอบ Ferrous Oxide (FeO) หรือฟิล์มของเหล็ก (Fe)

การหาลักษณะเฉพาะของฟิล์มนบาง

ลักษณะเฉพาะต่าง ๆ ของฟิล์มนบางสามารถวิเคราะห์ได้หลายเทคนิค งานวิจัยนี้ศึกษา
ลักษณะเฉพาะของฟิล์มนบาง ด้วยเทคนิคต่าง ๆ ดังนี้

1. การศึกษาโครงสร้างผลึกด้วยเทคนิค XRD ลักษณะเฉพาะอย่างหนึ่งของฟิล์มนบางคือ^{*}
โครงสร้างผลึก ซึ่งวิเคราะห์ได้ด้วยเทคนิคการวิเคราะห์การเลี้ยวเบนรังสีเอกซ์ กมล เอี่ยมพนาภิ
(2547) อธิบายไว้ว่าดังนี้ การเลี้ยวเบนรังสีเอกซ์เป็นเทคนิคที่ใช้สำหรับการแยกแบบ โครงสร้างของสาร
เคลื่อน โดยอาศัยการเปลี่ยนเที่ยบรูปแบบการเลี้ยวเบนรังสีเอกซ์ที่ได้กับฐานข้อมูล JCPDS (Joint
Committee on Powder Diffraction Standard) เทคนิค XRD ใช้หลักการของ การเลี้ยวเบนของคลื่น
โดยพบว่ารังสีเอกซ์เลี้ยวเบนได้เมื่อให้ตกกระทบผลึก ซึ่ง Bragg ได้เสนอแนวคิดว่าถ้าพิจารณาผลึก
ว่าประกอบด้วยชั้น (Layer) หรือ ระนาบ (Plane) ของอะตอม (ภาพที่ 2-19) ซึ่งสามารถสะท้อน
คลื่นที่ตกกระทบโดยมุมที่ตกกระทบเท่ากับมุมสะท้อน คลื่นที่สะท้อนออกจากกระนาบต่างๆ จะมี
ความเข้มสูง สำหรับรังสีเอกซ์ 1 และ 2 ตกกระทบทำมุม θ กับระนาบของผลึก A และ B สนามไฟฟ้าของ
รังสีเอกซ์จะก่อให้เกิดแรงดึงดูด omniprism ทำบนอิเล็กตรอนที่ P กับ Q ให้สั่นด้วยความถี่เดียวกับรังสี
เอกซ์ที่ตกกระทบ และอิเล็กตรอนนั้นแผ่คลื่นแม่เหล็กไฟฟ้าเป็นรังสีเอกซ์ออกไปทุกทิศทางแต่ใน
ทิศทาง 1' และ 2' ซึ่งเสมือนรังสีเอกซ์สะท้อนออกจากกระนาบของผลึกไปทางสอดแบบเสริมกัน
(In Phase) พิจารณา

$$\delta = n\lambda \quad (2-4)$$

เมื่อ δ คือ ความแตกต่างของระยะที่คลื่นเดินทาง

λ คือ ความยาวคลื่น

n คือ จำนวนเต็มใด ๆ

จากภาพที่ 2-19

$$\delta = SQ + QT = 2SQ \quad (2-5)$$

จากรูปตรีโกณมิติพื้นฐาน

$$\delta = 2PQ \sin \theta \quad (2-6)$$

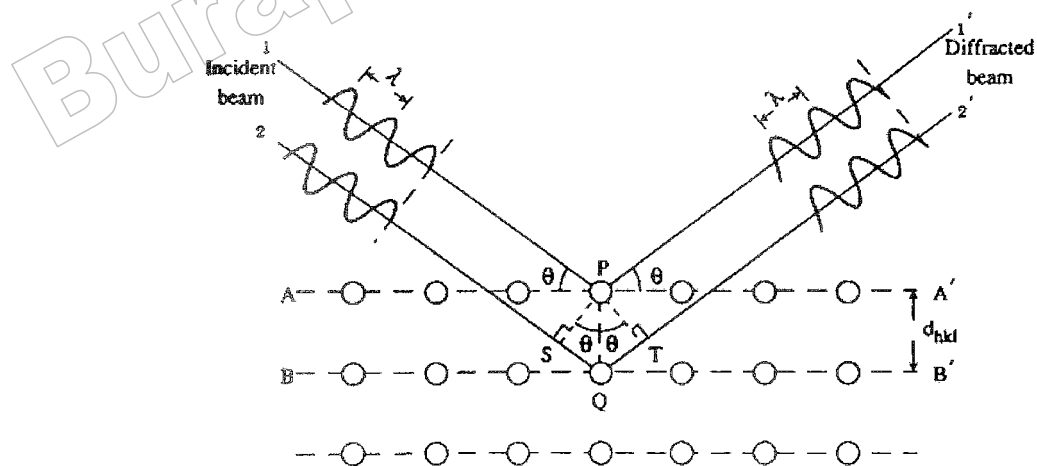
โดย PQ คือ ระยะห่างระหว่างระนาบ d_{hkl}

$$\delta = 2d \sin \theta \quad (2-7)$$

จากสมการ (2-4) เท่ากับ (2-7) จะได้

$$2d_{hkl} \sin \theta = n\lambda \quad (2-8)$$

เรียกสมการที่ (2-8) นี้ว่า กฎของเบรก (Bragg's law) โดยที่ λ เป็นความยาวคลื่น n เป็น ลำดับของการสะท้อน d_{hkl} เป็นระยะห่างระหว่างระนาบ ($h k l$) และ θ เป็นมุมต่อกล่องและมุม สะท้อนเมื่อจัดการแนวระนาบที่กำลังพิจารณาในภาพที่ 2-19 เป็นแบบจำลองสำหรับการพิสูจน์ กฎของเบรก อะตอมเรียงตัวเป็นระเบียบโดยมีระยะห่างระหว่างอะตอมใกล้เคียงกับความยาว คลื่นของรังสีเอกซ์ ($\sim 10^{-10} \text{ m}$) จะทำหน้าที่เป็นแม่ขอน เกรตติงเลี้ยวเบนแต่เป็นเกรตติงเลี้ยวเบน แบบ 3 มิติ



ภาพที่ 2-19 แบบจำลองการเรียงตัวของอะตอม (กมล เอี่ยมพนาคิจ, 2547)

สัญญาณที่ตรวจจับได้จะแสดงออกมาในรูปแบบของการเลี้ยวเบนรังสี (Diffraction Pattern) ความเข้มของสัญญาณขึ้นอยู่กับหลายปัจจัยกัน เช่น โครงสร้างของวัสดุ ปริมาตรของวัสดุที่แผ่รังสี (Volume of Irradiated Material) รูปทรงของการหักเห (Diffraction Geometry) และการวางชิ้นงาน (Sample Alignments) เป็นต้น

ตำแหน่งของพีค ที่มีค่ามากที่สุดสามารถอุดึงขนาดและรูปร่างของหน่วยเซลล์ได้ในขณะที่ความกว้างให้หาค่าขนาด การจัดเรียงตัว (Orientation) และความเครียด (Strain) ภายในเกรนของวัสดุหลายผลึก กรณีของการศึกษาขนาดของผลึกจากการงานการวิจัยของ Kim, Hahn, Oh, and Kim (2002) ได้ทำการศึกษาขนาดของผลึกไฟฟานียมโดยออกไซด์ที่อบพิล์มนางด้วยอุณหภูมิต่าง ๆ โดยอาศัย Seherrer equation ดังสมการที่ 2-9

$$L = \frac{k\lambda}{\beta \cos \theta} \quad (2-9)$$

เมื่อ L คือ ขนาดของผลึกพิล์มไฟฟานียมโดยออกไซด์

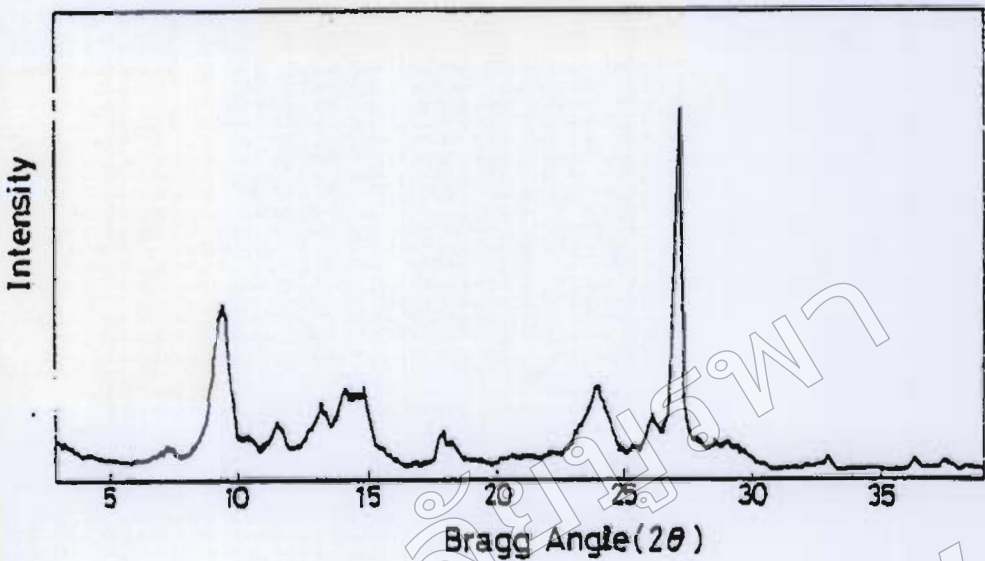
k คือ ค่าคงที่เท่ากับ 0.94

λ คือ ความยาวคลื่นของรังสีเอกซ์ ($\text{CuK}_\alpha = 1.5406$)

β คือ ความกว้างครึ่งหนึ่งของพีคที่มีค่าความเข้มสูงสุด

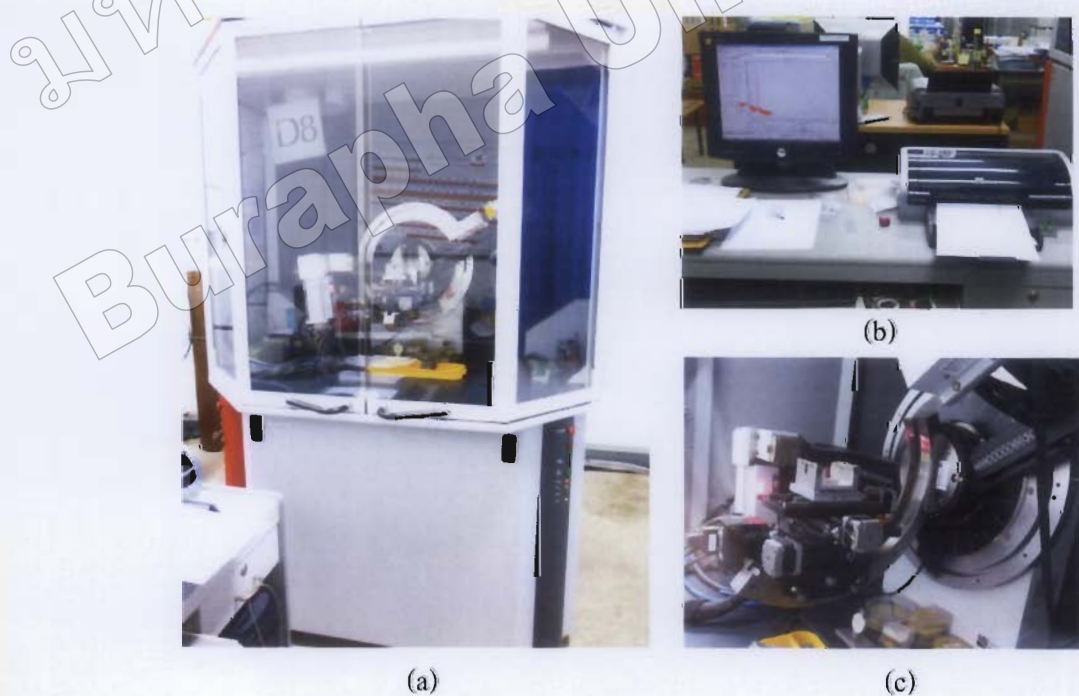
θ คือ ครึ่งหนึ่งของมุมตรงข้ามศูนย์กลางพีค

บางครั้งตำแหน่งของรูปแบบการเลี้ยวเบนที่วัดได้อาจเลื่อนไปด้วยค่ามุมที่สูงขึ้นเนื่องจากผลของการเก็บคงค้าง (Residual Stress) ในผิวสารเคลือบน้ำเงิน ส่วนความเข้มของสัญญาณที่ได้อาจไม่เป็นไปตามค่ามาตรฐาน JCPDS เพราะเกิดการจัดเรียงตัวในทิศทางที่ชอบ (Preferred Orientation) ของอะตอมในพิล์ม นอกจากนี้เทคนิคการเลี้ยวเบนรังสีเอกซ์ยังสามารถให้ข้อมูลที่บ่งบอกถึงส่วนผสมทางเคมีของเฟส (Phase Composition) และค่าพารามิเตอร์ของแลททิซ (Lattice Parameter)



ภาพที่ 2-20 รูปแบบการเดี่ยวบนรังสีเอกซ์ของวัสดุที่มีความเข้มผลึก

(Yoshiaki Kato, 1990)

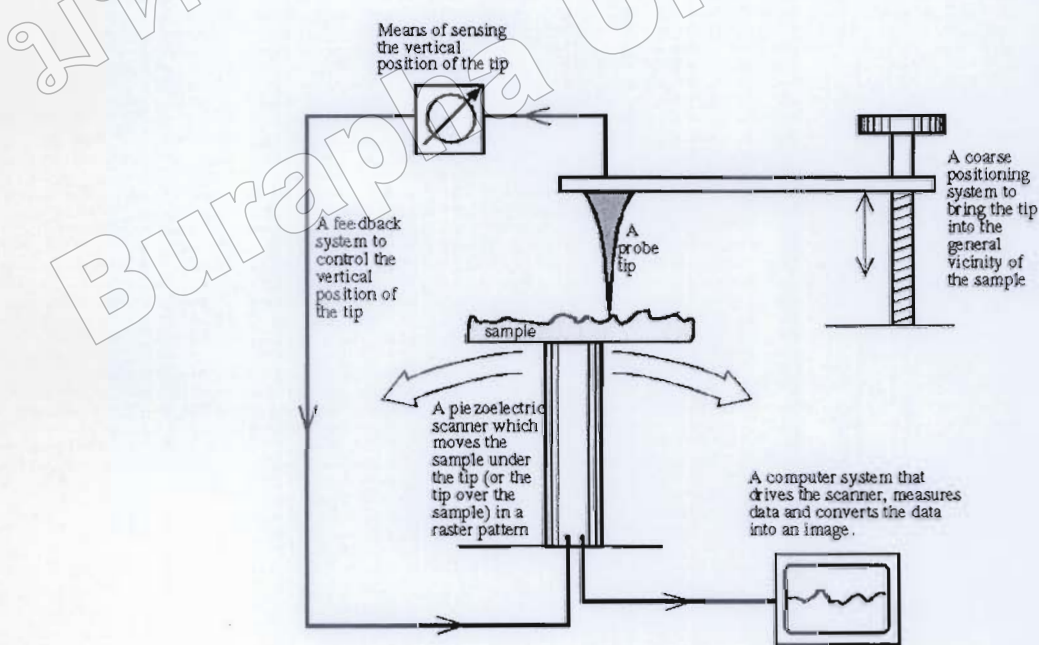


ภาพที่ 2-21 เครื่อง X-ray Diffractometer

(a) เครื่อง X-ray Diffractometer (b) จอภาพแสดงผล (c) หัววัด

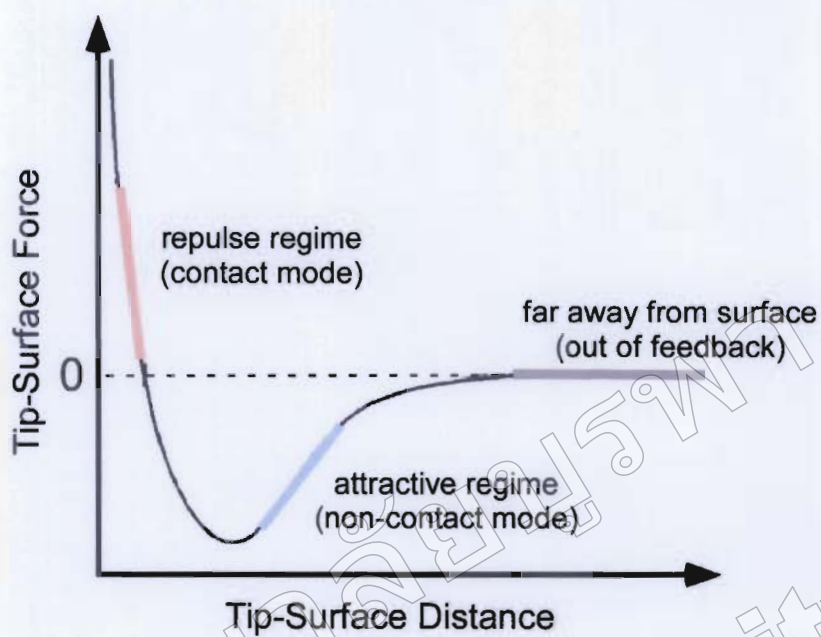
2. การศึกษาลักษณะพื้นผิวด้วยเทคนิคAFM ลักษณะเฉพาะสำคัญอีกอย่างหนึ่งของฟิล์มบางคือความหนาและลักษณะพื้นผิว เทคนิคที่นิยมใช้ในการศึกษาความหนาและลักษณะพื้นผิวของฟิล์มบางในระดับนาโน คือ Atomic Force Microscopy (AFM) ซึ่ง จตุพร วุฒิกานกกาญจน์ (2542) ได้อธิบายหลักการทำงานของเครื่อง AFM ไว้ดังนี้ เทคนิค Atomic Force Microscopy เป็นการสร้างภาพของผิวสัมผัสร่างกระทำระหว่างผิวสัมผัสด้วยตัวตรวจวัดที่ทำการเข้ามายังปลาย尖端 (Probe Tip) และเป็นเทคนิคหนึ่งในกลุ่มของ Scanning Probe Microscopy (SPM) ซึ่งเป็นกลุ่มเทคนิคที่สามารถใช้ในการศึกษาสภาพพื้นผิวของวัสดุประเภทต่าง ๆ ได้ หลักการพื้นฐานคือ การใช้เข็มตรวจวัดขนาดเล็กที่ทำการซัดิกอนไนโตรด (Silicon Nitride; Si_3N_4) เคลื่อนที่กราด (Scan) ทั่วบริเวณต่าง ๆ ของผิวสัมผั โดยมีตัวเพิ่มโซ่อิเล็กทริกสแกนเนอร์ (Piezoelectric Scanner) เป็นตัวควบคุม สภาพผิวที่แตกต่างกันไปก่อให้เกิดการเปลี่ยนแปลงก้นเข็มตรวจวัดแตกต่างกันไป โดยตัวควบคุมมีเพิ่มการติดอยู่จะมีการโค้งงอ (Bending) ปริมาณการโค้งงอนี้สามารถตรวจวัดได้โดยใช้โฟโตเดกเตอร์ (Photo Detector) ดังภาพที่ 2-22 ภาพที่ได้จากการนี้แสดงค่าความสูงของตัวตรวจวัดที่ต้องการจะต้องตามสภาพพื้นผิวในขณะนั้น บริเวณที่ตรวจสอบสิ่งที่ทำให้ค่านี้มีเพิ่มมากขึ้นอยู่กับการโค้งงอขึ้นก็คือ แรงกระทำระหว่างอะตอมซึ่งอาจเป็นแรงดึงดูดหรือแรงผลักกัน ด้วยข้อมูลนี้จะสามารถรู้ว่าระหว่างเข็มกับพื้นผิว ดังแสดงใน

ภาพที่ 2-23



ภาพที่ 2-22 องค์ประกอบหลักของเครื่องมือ Scanning Probe Microscope

(อุดิษฐ์ บูรณะวงศ์, 2551)



ภาพที่ 2-23 ตัวอย่างของแรงกระทำระหว่างอะตอมที่เกิดขึ้นในระยะห่างระหว่างวัตถุต่าง ๆ
(อธิค. บูรพาวงศ์, 2551)



ภาพที่ 2-24 เครื่อง AFM แบบ Multimode (อธิค. บูรพาวงศ์, 2551)

ภาพที่ 2-24 แสดงให้เห็นถึงเครื่อง Atomic Force Microscope รุ่น NanoScope IIIa บริเวณตรงกลางเป็นบริเวณที่ใช้วางชิ้นงานโดยมีเข็มวัดวางอยู่ด้วย ส่วนที่บริเวณด้านบนของ เครื่องมือมีกล้องจุลทรรศน์วิดีโอ (Video Microscope) ติดตั้งไว้ เพื่อใช้สำหรับดูตำแหน่งของเข็มที่ จะทำการวางลงบนบริเวณต่าง ๆ บนผิว ภาพที่ได้จากการถ่ายภาพผ่าน AFM นี้จะแสดงทาง จอโทรทัศน์ นอกจากนี้ในบริเวณด้านบน มีแหล่งกำเนิดแสงเลเซอร์และไฟโตเดกเตอร์ที่ใช้วัด การโถงของ分子ยัง

การเก็บข้อมูลด้วยเทคนิค AFM แบ่งออกเป็น 4 ลักษณะ (Mode) คือ

2.1 Contact Mode เป็นการศึกษาสภาพผิวชิ้นงานโดยการยืดให้เข้มໄโลต (Slide) ไปบนผิวงานซึ่งทำให้มีแรงผลักเกิดขึ้น เนื่องจากเข็มกับผิวงานอยู่ใกล้กันมาก แรงผลักนี้จะเปลี่ยนแปลงไปตามสภาพผิวซึ่งทำให้มีการโถงด (Deflection) ของคานยื่น (Cantilever) ที่มีเข็มยึดเกาะอยู่ที่ปลาย โดยปริมาณการโถงจะเปลี่ยนแปลงสอดคล้องเป็นไปตามลักษณะของผิวงาน

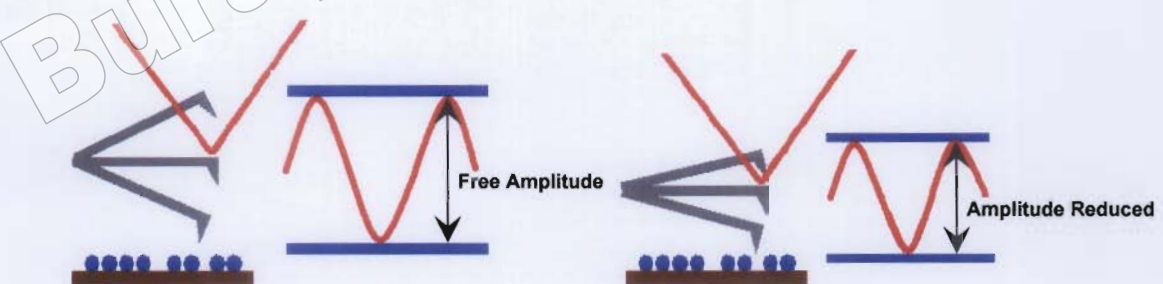
เทคนิคแบบ Contact Mode นี้มีข้อเสียคือ การลากให้เข้มตรวจเคลื่อนที่ໄโลตข้ามไปยังบริเวณต่าง ๆ บนผิวงาน อาจทำให้พื้นผิวสุดที่ศึกษาต่างไปจากสภาพเดิมที่แท้จริง หรืออาจเกิดความเสียหายขึ้นแก่ผิวงานได้ เช่นภายในได้สภาวะบรรยายกาศปกติซึ่งมีอากาศและความชื้นในอากาศ อาจเกิดหยดน้ำหรือสิ่งสกปรกบนผิวงาน ซึ่งเมื่อเข้มวัดเคลื่อนที่ไปสัมผัสกับผิวที่มีชื้นบาง ๆ ของหยดน้ำและสิ่งสกปรกดังกล่าว ทำให้มีแรงดึงไฟฟ้าสถิตและแรงดึงผิวคงให้ตัวคนที่มีเข้มยึดอยู่ที่ปลายเคลื่อนที่ลงมาสัมผัสกับชั้นดังกล่าว ทำให้แรงระหว่างเข็มกับผิวงานที่เกิดขึ้นโดยรวมเปลี่ยนแปลงไป นอกจากนี้ ยังอาจทำให้ผิวงานถูกทำลาย เช่น เกิดการรีบขาดจากการลากเข้มไปบนผิวงาน

2.2 Non-Contact Mode เพื่อลึกเลี้ยงปัญหาดังกล่าว จึงมีการพัฒนาเทคนิคแบบ Non-contact mode ขึ้นมา โดยในที่นี้ ตัวเข้มปลายแหลมจะถูกยกขึ้นมาให้มีระยะห่างเหนือผิวงานสูงมากขึ้น คือประมาณ 10 - 100 Å จึงไม่มีปัญหารဆ่องการทำลายโครงสร้างผิวงานโดยในกรณีนี้ แรงกระทำระหว่างตัวคนที่มีเข้มปลายแหลมยึดเกาะอยู่กับผิวงานจะเป็นลักษณะแรงดึงดูดซึ่งเปลี่ยนแปลงไปตามรูปทรงของสภาพผิวงานเช่นเดียวกัน

วิธีนี้มีข้อจำกัดเกี่ยวกับความละเอียดของภาพที่ได้ คือ แรงดึงดูดประเภทแวนเดอร์ วาลส์ (Van Der Waals) ที่เกิดขึ้นในกรณีนี้เป็นแรงที่อ่อนกว่าเมื่อเทียบกับแรงผลักที่เกิดขึ้นในกรณีของ Contact Mode ดังนั้นการตรวจสอบอาจไม่ (Sensitive) ต่อสิ่งแปรปรวนที่อยู่บนผิวงาน เช่น หยดน้ำที่เกาะอยู่บนผิว

2.3 Tapping Mode เป็นเทคนิคที่รวมถักยณะการวัดแบบ Contact Mode และ Non-Contact Mode เข้าด้วยกัน กล่าวคือ ยังคงให้มีการสัมผัสกันระหว่างเข็มกับผิวงานในระบบที่ใกล้กันมาก เหมือนกับกรณีของ Contact Mode เพื่อให้เกิดภาพที่ชัดเจน ขณะเดียวกันก็ยังมีการสั่นหรือขับ震เมื่อปลายแหลมให้เคลื่อนที่ขึ้นลงไปพร้อม ๆ กับการเคลื่อนที่สแกนไปยังบริเวณต่าง ๆ บนผิวงาน ดังนั้นจึงเป็นการหลีกเลี่ยงปัญหาการลากไถลเข็มปลายแหลม ซึ่งจะทำให้เกิดการทำลายสภาพของผิวงานได้ เมื่อใน Contact Mode

ภาพที่ 2-25 แสดงการสั่นของงานในสภาพอิสระหรือตอนเริ่มต้นที่ยังไม่เกิดการสัมผัสและขับ震ที่ไปบนผิวงาน จะเห็นว่าแอมเพลจูดยังสูงอยู่เมื่อเทียบกับแอมเพลจูดที่เกิดจาก การสั่นของงานเมื่อมีการแตะสัมผัส (Tapping) ลงบนผิวงาน เนื่องจากการสัมผัสกันนี้จะมีการสูญเสียพลังงานของการสั่น ทำให้แอมเพลจูดของการสั่น (Oscillation Amplitude) ลดลงซึ่งค่าที่ลดลงนี้ ใช้เป็นตัววัดและบอกถึงถักยณะของสภาพพื้นผิวที่มีความสูงต่ำแตกต่างกันไป เช่นเมื่อเข็มตรวจวัดเคลื่อนที่ผ่านบริเวณผิวงานที่มีความผันผวนสูงขึ้นมา ตัวงานจะมีพื้นที่หรือแอมเพลจูดในการสั่นลดลง ในทางตรงข้าม เมื่อเข็มปลายแหลมเคลื่อนที่ผ่านบริเวณผิวที่มีการยุบตัวหรือมีความลึกลงไปตัวงานจะมีพื้นที่ในการสั่นเพิ่มขึ้น และมีแอมเพลจูดสูงขึ้น (เข้าใกล้แอมเพลจูดสูงสุดในสภาพที่ยังไม่มีการทำการสแกน) แอมเพลจูดของการสั่นที่เปลี่ยนแปลงไปถูกวัดโดยแอมเพลจูดดิเตกเตอร์ (Amplitude Detector) แล้วส่งไปยังตัวควบคุม ซึ่งจะวัดสัญญาณพร้อมปรับระยะระหว่างเข็มกับ ผิวงานเพื่อรักษาให้ค่าแอมเพลจูดของการสั่นให้คงที่ต่อไป จนกว่าจะมีการเปลี่ยนแปลงของ แอมเพลจูดของการสั่นตามสภาพพื้นผิวในบริเวณถัดไป



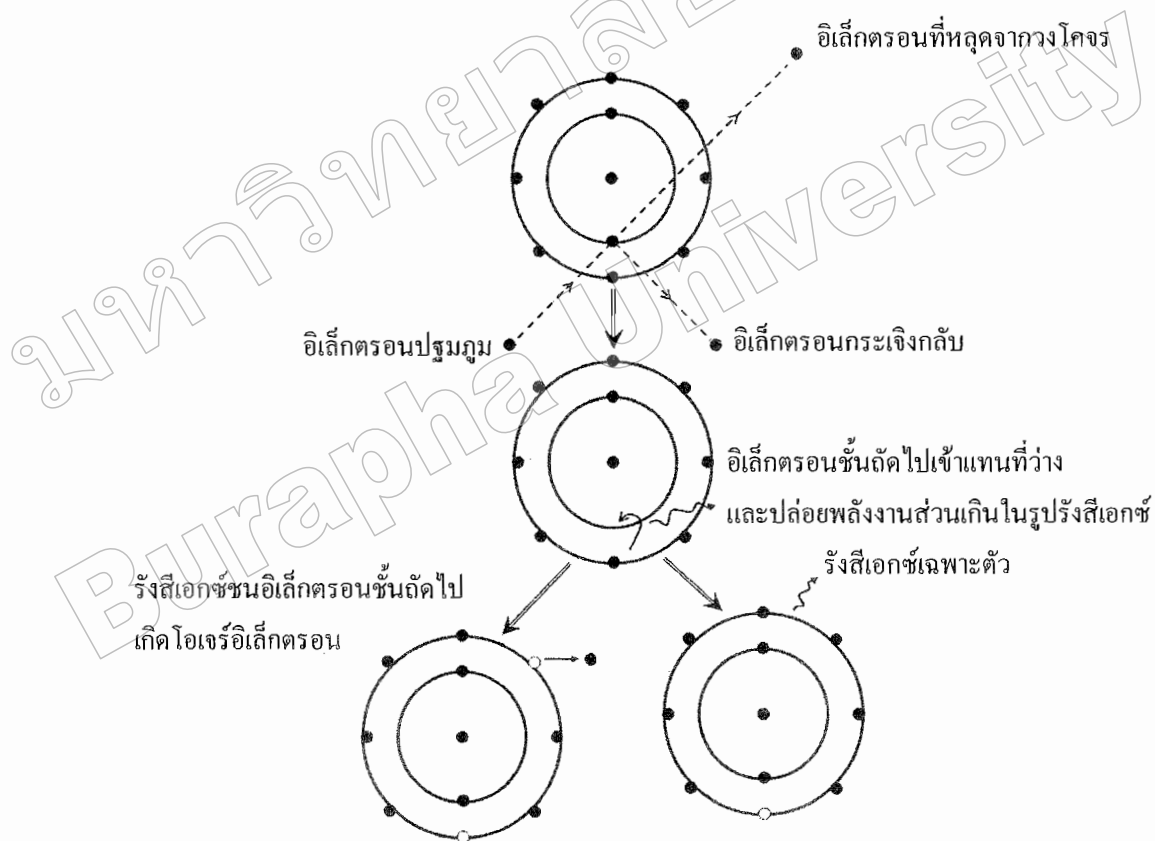
ภาพที่ 2-25 ถักยณะการสั่นของงานที่มีเข็มติด
(อดิศร บูรพาวงศ์, 2551)

2.4 Force modulation mode สำหรับพื้นผิวของวัสดุที่มีองค์ประกอบหลากหลายเพส พนว่า เทคนิค AFMแบบ Force Modulation Mode เป็นที่นิยมใช้มาก โดยเทคนิคนี้เป็นการวัดและสร้าง ภาพของพื้นผิวชิ้นงานที่มีความแตกต่างของความแข็งแกร่ง (Stiffness) ในแต่ละเฟสสูงกรณีนี้ตัว เข้มจะสแกนไปในลักษณะที่มีการสั่นในแนวตั้งจากกับผิววัสดุด้วยแอมพลิจูดเล็กน้อย แต่มี ความเร็วในการสั่นสูงกว่าการเคลื่อนที่สแกนของเข็ม และเมื่อตัวเข็มสัมผัสกับผิววัสดุจะเกิดแรง ด้านจากผิวของวัสดุที่เกิดจากการสั่นทำให้ตัวคานง และถ้าหากแรงที่ทำให้ตัวคานสั่นคงที่ พื้นผิว บริเวณที่แข็งกว่าจะทำให้เกิดการด้านต่อการสั่นในแนวตั้งของตัวคานมากกว่า และจึงทำให้ตัวคาน จมมากกว่า ดังนั้น การเปลี่ยนแปลงของแอมพลิจูดที่เกิดจากการโคลงขอของตัวคานจึงนำมาใช้วัด เปรียบเทียบความแข็งที่บริเวณต่าง ๆ ของผิวงาน

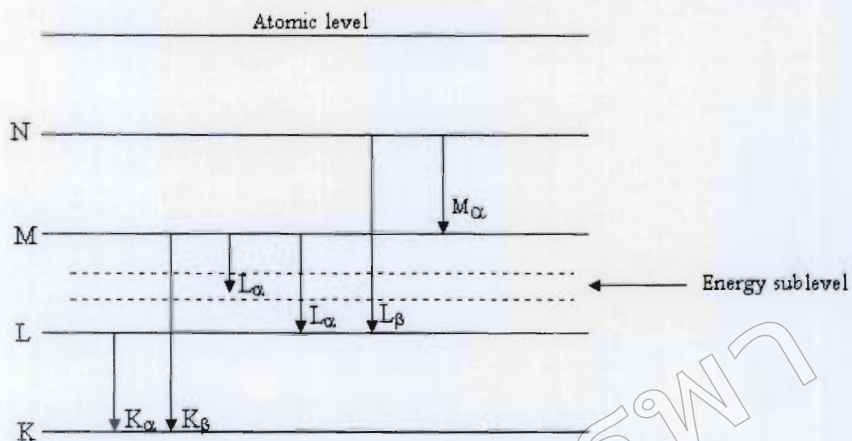
หลักการทำงานของ Tapping Mode กับ Force Modulation Mode คล้ายกันที่มีการสั่นของ เข็มในแนวตั้งพร้อมกับมีการสแกนไปบนพื้นผิวชิ้นงาน อย่างไรก็ตามทั้ง 2 เทคนิค จะมีความแตกต่าง กัน คือ ในกรณี Force Modulation Mode จะสั่นด้วยความเร็วสูงกว่า (สูงกว่าความเร็วในการสแกน) และการวัดแอมพลิจูดที่เกิดจากการบิดของคาน เป็นการวัดเนื้องจากผลของการสั่น เมื่อมี การสัมผัสของเข็มกับผิวงาน ในขณะที่ Tapping Mode จะเป็นการวัดการเปลี่ยนแปลงแอมพลิจูด ของการสั่นของคานที่เปลี่ยนแปลงไป (ลดลง) เนื่องจากมีการสูญเสียพลังงานไปเมื่อมีการสัมผัส ผิวงานที่มีระดับความสูงต่างๆ

3. การศึกษาองค์ประกอบธาตุทางเคมีด้วยเทคนิค EDX ลักษณะเฉพาะอีกประการหนึ่ง ที่สำคัญของฟิล์มนางคือ องค์ประกอบธาตุทางเคมี เทคนิคที่ใช้ในการศึกษาองค์ประกอบธาตุทาง เคมี คือ Energy Dispersive X-ray Spectroscopy ซึ่ง วิริยะศักดิ์ อุดมกิจเดชา (2543) ได้อธิบาย หลักการทำงานของเครื่องไว้ดังนี้ เมื่อคำอิเล็กตรอนพลังงานสูงเคลื่อนที่เข้าชนอิเล็กตรอนในวง โครงการชั้นในของอะตอม เช่น ชั้น K หรือ L และเกิดการถ่ายโอนพลังงานให้แก่อิเล็กตรอน ทำให้อิเล็กตรอนชั้นในที่ได้รับพลังงานดังกล่าวมีพลังงานสูงขึ้นเกินพลังงานยึดเหนี่ยวของชั้น โครงการ จึงหลุดออกจากวงโคจรและทำให้เกิดที่ว่างของอิเล็กตรอนในชั้น โครงการ จากนั้นอะตอมที่อยู่ใน สถานะฉุกระดุนลดระดับพลังงานลงสู่สภาวะปกติในช่วงระยะเวลาอันสั้น (10^{-15} วินาที) โดย อิเล็กตรอนของวงจรชั้นถัดออกไปจะลดระดับพลังงานลงมาให้เท่ากับพลังงานยึดเหนี่ยวของวงจร ที่เกิดที่ว่างของอิเล็กตรอน ด้วยการปล่อยพลังงานส่วนเกินในรูปของรังสีเอกซ์ แล้วอิเล็กตรอนจะ เข้าแทนที่ พลังงานส่วนเกินนี้มีพลังงานเท่ากับความต่างของระดับพลังงานยึดเหนี่ยวเฉพาะชั้น โครงการของอิเล็กตรอนและเฉพาะของธาตุ จึงมีค่าพลังงานเฉพาะค่า เรียกรังสีชนิดนี้ว่า “รังสีเอกซ์ เฉพาะตัว” ดังแสดงในภาพที่ 2-26 และภาพที่ 2-27

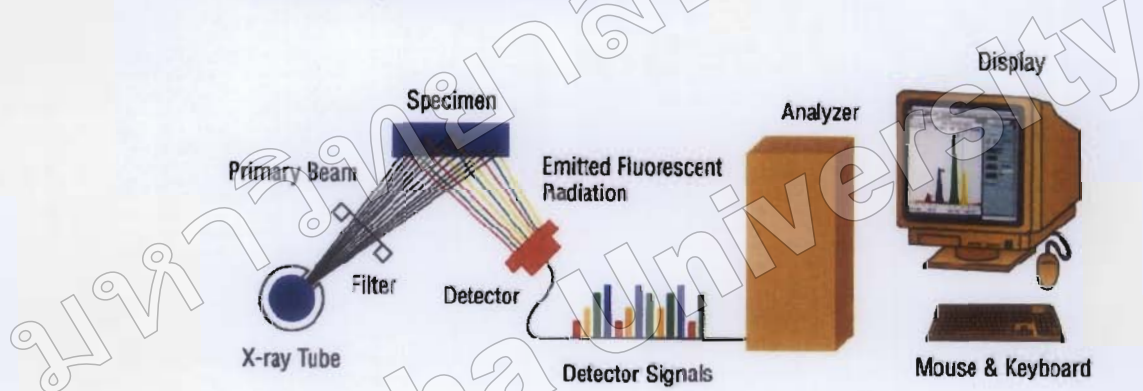
ในระบบการวิเคราะห์ธาตุด้วยรังสีเอกซ์แบบ EDX หัววัดรังสีที่นิยมใช้ในปัจจุบัน คือ หัววัดรังสีแบบ Si (Li) ซึ่งหมายความว่าการวัดรังสีเอกซ์เฉพาะตัวที่มีพลังงานในช่วง 1 ถึง 30 keV หรือหัวดัชนิดเจอร์มานียมความบริสุทธิ์สูง (High Purity Germanium; HPGe) ซึ่งสามารถวัดรังสีเอกซ์เฉพาะตัวได้ช่วงกว้าง คือ 3 ถึง 200 keV โดยหัววัดรังสีเอกซ์ทั้งสอง แบบ จะเปลี่ยนพลังงานของรังสีให้เป็นสัญญาณไฟฟ้าในรูปของสักย์ไฟฟ้า โดยขนาดของสัญญาณไฟฟ้าที่ทางออกของหัวดัชนิดจะเป็นปฏิภาค โดยตรงกับพลังงานของรังสีเอกซ์ที่ตัดกรอบบนหัวดัชนิดนั้นจะขยายแบบซ่องเดียวหรือหลายช่องจะเก็บสัญญาณไฟฟ้าจากหัวดัชนิดนั้นที่อยู่ภายในเครื่อง และแสดงผลวิเคราะห์บนจอภาพในรูปของスペกตรัม พร้อมทั้งผลวิเคราะห์เชิงปริมาณและคุณภาพโดยโปรแกรมสำหรับปัจจุบันที่ 2-28 และภาพที่ 2-29



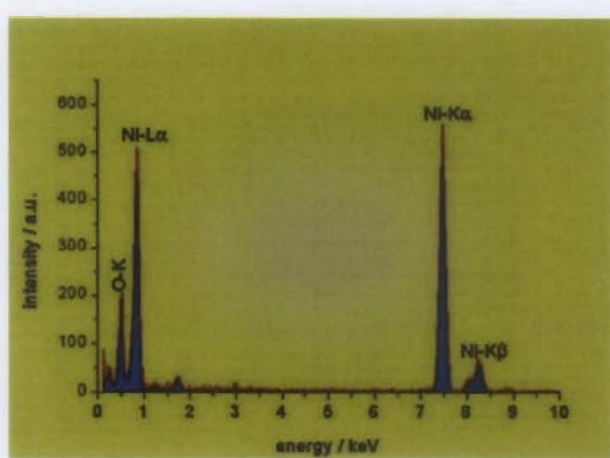
ภาพที่ 2-26 การกระตุ้นให้เกิดรังสีเอกซ์เฉพาะตัวโดยใช้ลำอิเล็กตรอน
(วีระศักดิ์ อุดมกิจเดชา และคณะ, 2543)



ภาพที่ 2-27 การเกิดรังสีเอกซ์เพราตัวที่ระดับพลังงานของชั้นโคจรต่าง ๆ
(วีระศักดิ์ อุดมกิจเดชา และคณะ, 2543)



ภาพที่ 2-28 องค์ประกอบหลักของเครื่องมือ Energy Dispersive X-ray spectroscopy (EDX)
(อภิราชดัน จำบุญ, 2551)



ภาพที่ 2-29 ตัวอย่างการวิเคราะห์องค์ประกอบธาตุทางเคมีด้วยเทคนิค EDX

4. การวัดสี สี เป็นลักษณะทางกายภาพที่เห็นได้แต่ไม่สามารถบอกปริมาณได้ชัดเจน เนื่องจากการมองเห็นและเปรียบเทียบความเข้มสีด้วยสายตา (Visual Colorimetry) มีความถูกต้อง และแม่นยำต่อ ต่อมาก็ได้มีการนำตัวไว้แสง (Photo senser) มาใช้แทนการเปรียบเทียบด้วยสายตา เครื่องมือที่ใช้ตัวไว้แสงมีชื่อว่า “Photoelectric Colorimeter” อาศัยความสามารถในการคุ้ดคลื่นแสง หรือปล่อยแสงที่มีความยาวคลื่น (Spectrum) ต่างกัน หลังจากนั้นได้พัฒนาเครื่องมือที่สามารถวัด ความเข้มแสงซึ่งความยาวคลื่นแบบๆ อย่างต่อเนื่อง ได้ตามความต้องการและใช้ตัวไว้แสงที่มี ประสิทธิภาพสูงเครื่องมือดังกล่าวถูกเรียกว่า “สเปกโท โฟโตมิเตอร์” (Spectrophotometer)

การวัดสีมีหลายระบบ กัณนัย ทองทิ้อมพร (2550) ได้อธิบายไว้ดังนี้ สำหรับ Spectrophotometer ที่สามารถวัดสีของวัตถุออกมานเป็นตัวเลข ได้ โดยที่วัดปริมาณการสะท้อนแสง ของวัตถุเทียบกับมาตรฐานอ้างอิงที่เป็น Reflectance Curve วัตถุที่มีสีแตกต่างกันจะมี Reflectance Curve ต่างกันวัตถุที่มีสีต่างกันเมื่อสะท้อนแสงของสีนั้นออกมาก็มีความยาวคลื่นต่างกันโดยที่ สีน้ำเงิน มีความยาวคลื่นที่ 430-460 nm สีเขียว มีความยาวคลื่นที่ 500-580 nm สีแดง มีความยาวคลื่นที่ 620-780 nm ระบบการวัดสีในเครื่อง Spectrophotometer มีอยู่หลายระบบดังนี้

4.1 ระบบ Munsell เป็นระบบที่ได้มีการพัฒนามาก่อนการนำเครื่องมือวัดสีมาใช้ใน การวัดสี โดยการใช้สายตาและอาศัยสมบัติของการมองเห็นสีคือ Hue, Lightness และ Chroma ซึ่งต้องอาศัยประสบการณ์ความคิดของมนุษย์ในการวัดสี ระบบนี้จัดเป็นระบบที่ตรงกับที่สายตา มนุษย์มองเห็นสีแตกต่างกันเป็นช่วงที่เท่า ๆ กัน

4.2 ระบบ Tristimulus Value ค่าที่หาได้ออกมานเป็น X, Y, Z โดยค่านี้ระบุเป็นค่าสี แดง สีเขียว และสีน้ำเงิน ตามลำดับ แต่ค่าที่ได้ขึ้นขาดความสัมพันธ์ระหว่างกันของสีที่มองเห็น จึงไม่สามารถที่นำมาใช้ประโยชน์อะไรได้มาก

4.3 ระบบ CIE Chromaticity coordinate เป็นวิธีการที่สามารถระบุความหมายของสี ได้ชัดเจนขึ้น ซึ่งค่าที่ได้เป็น

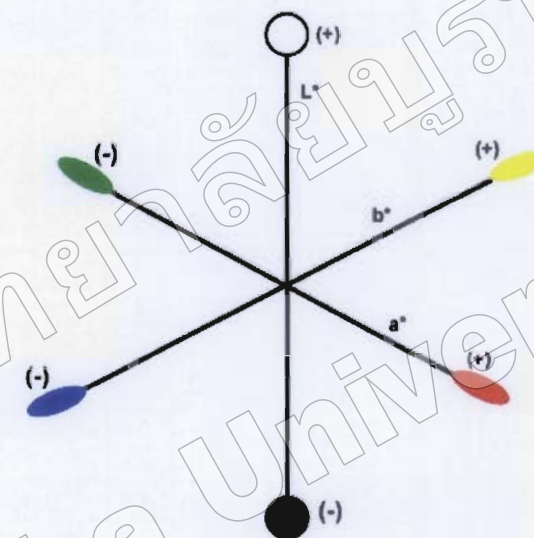
$$x = \frac{X}{X + Y + Z}$$

$$y = \frac{Y}{X + Y + Z}$$

$$z = \frac{Z}{X + Y + Z}$$

โดยที่ค่า x และ y เป็นค่าที่ระบุความเป็นสี ส่วนความสว่างของสีเป็นค่า Y แต่วิธีการ วัดสีโดยวิธีการนี้ไม่เหมาะสมที่จะนำมาใช้ในการบอกค่าความแตกต่างของสีได้ดี

4.4 ระบบ CIE L*a*b* เป็นวิธีการวัดสีโดยกำหนดเป็นค่าปริภูมิสี (Color Space) ขึ้นมา ดังรูปที่ 2-30 โดยกำหนดให้ L* เป็นความสว่าง (Lightness) มีค่าอยู่ระหว่าง 0 - 100
 แกน a* ที่เป็น + สีจะเป็นไปในทิศทางสีแดง
 แกน a* ที่เป็น - สีจะเป็นไปในทิศทางสีเขียว
 แกน b* ที่เป็น + สีจะเป็นไปในทิศทางสีเหลือง
 แกน b* ที่เป็น - สีจะเป็นไปในทิศทางสีน้ำเงิน



ภาพที่ 2-30 ค่าปริภูมิสีระบบ CIE L*a*b* (Gharaibeh et al., 2007)



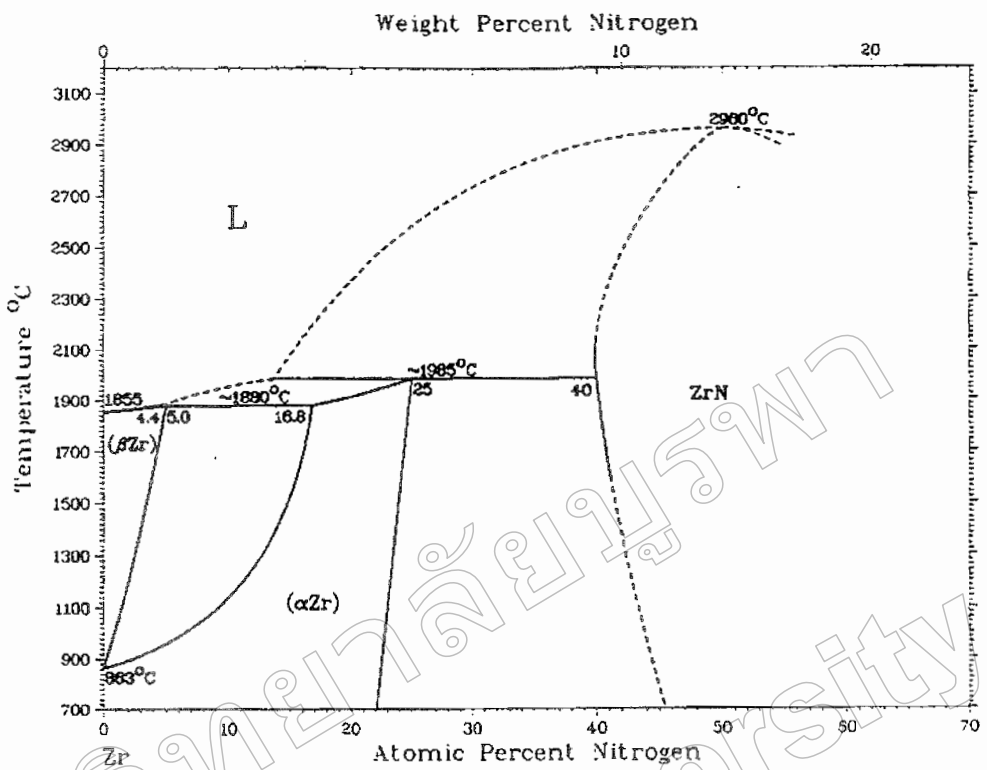
ภาพที่ 2-31 เครื่อง Spectrophotometer Untra scan XE

พิล์มเซอร์โคเนียมในไตรค์

เซอร์โคเนียมในไตรค์เป็นสารประกอบของชาตุทรานซิชันหนู 4 (IVB) ซึ่งนิสรมบัติที่เหมาะสมสำหรับประยุกต์ใช้ในงานอุตสาหกรรมต่าง ๆ เนื่องจาก มีความแข็งสูงประมาณ 4000 Hv (Holleck, 1986) สีทองสว่าง จึงมีการประยุกต์ใช้เซอร์โคเนียมในไตรค์เพื่อเคลือบสวายงานเคลือบแข็ง ตัวอย่างเช่น อุตสาหกรรมเครื่องประดับ นาฬิกาข้อมือ ที่ใช้เซอร์โคเนียมในไตรค์เคลือบผิวเพื่อเพิ่มความสวายงาน หรืออุปกรณ์ เครื่องมือทางอุตสาหกรรม ใช้เซอร์โคเนียมในไตรค์เคลือบผิวป้องกันการสึกหรอ เพื่อยืดอายุการใช้งาน เป็นต้น นอกจากนี้ สารประกอบเซอร์โคเนียมในไตรค์ยังได้รับการอนุมัติจาก FDA (Federal Drug Administration) ให้สามารถใช้กับเครื่องมือแพทย์และอุตสาหกรรมอาหารได้

กฎของเฮก (The Hägg Rule) ได้ระบุว่าโครงสร้างของโลหะทรานซิชัน ไฮไตรค์ (Hydrides) คาร์ไบด์ (Carbides) ในไตรค์ (Nitrides) และ โบไรด์ (Borides) สามารถหาได้จากการคำนวณอัตราส่วนของรัศมีอะตอมของชาตุเหล่านี้กับ โลหะทรานซิชัน จำนวนเปรียบเทียบกับค่า 0.59 (Sundgren & Hentzell, 1986) หากว่ามีค่าน้อยกว่า 0.59 จะเกิดโครงสร้างอย่างง่าย แต่ถ้ามีค่ามากกว่า 0.59 จะเกิดรูปแบบโครงสร้างที่ซับซ้อน ซึ่งตามกฎของเฮกแล้ว เซอร์โคเนียมในไตรค์ (ZrN) มีโครงสร้างผลึกแบบโซเดียมคลอไรด์ ($NaCl$)

เซอร์โคเนียมในไตรค์ ที่มีโครงสร้างผลึกแบบโซเดียมคลอไรด์ คือสารประกอบที่ประกอบด้วยอะตอมเซอร์โคเนียมบรรจุอยู่ที่ตำแหน่งແลชทิตของโอฟซีซี (fcc) และอะตอมในไตรเจนแทรกอยู่ระหว่างตำแหน่งของอะตอมเซอร์โคเนียม (Octahedral Site) (Chou, Yu, & Huang, 2002) โดยพิล์มเซอร์โคเนียมในไตรค์มีค่ามอดูลัสของยัง (Young's Modulus) มากถึง 460 GPa (Török, Perry, Chollet, & Sproul, 1987) มีสีทองและค่าคงที่ແลชทิต (Lattice Parameter) เท่ากับ 4.584 Å (Musil & Wolfe, 1993) จุดหลอมเหลวของพิล์มเซอร์โคเนียมในไตรค์เท่ากับ 2980 °C และมีสภาพต้านทานไฟฟ้าต่ำประมาณ $13.6 \mu\Omega \text{ cm}$ (Jin & Maruno, 1991) อย่างไรก็ตาม โครงสร้างและลักษณะเฉพาะของพิล์มบางเซอร์โคเนียมในไตรค์จะขึ้นอยู่เทคนิคและเงื่อนไขในการเตรียมพิล์ม โดยโดยแกรมของเฟสเซอร์โคเนียมในไตรค์แสดงดังภาพที่ 2-32



ภาพที่ 2-32 ไดอะแกรมของเฟสเซอร์โซโนเนียมในไนโตรค์ (Groudeva-Zotova, Kaltofen, & Sebald, 1993)

งานวิจัยที่เกี่ยวข้อง

Budke, Krempel-Hesse, Maidhof, and Schüssler (1999) ศึกษาความคงทนต่อการกัดกร่อนและการเปลี่ยนแปลงสีของเซอร์โคเนียมในไตรค์ที่เคลือบด้วยวิธีรีแอคตีฟดีซีสปัตเตอริ่ง เพื่อนำไปใช้ในการพัฒนาการเคลือบแข็งในอุตสาหกรรมสุขภัณฑ์ โดยทดลองเคลือบฟิล์มเซอร์โคเนียมในไตรค์บนเหล็กที่มีความหนาพิเศษเท่ากับ $0.6 \mu\text{m}$ และชิลิกอนที่มีความหนาพิเศษเท่ากับ $0.05 \mu\text{m}$ แล้วนำมาทดสอบกับน้ำร้อนที่ไม่มีประจุที่อุณหภูมิ 80°C นาน 8 ชั่วโมงวิเคราะห์ด้วย XPS, TEM, Spectrophotometer หลังการทดสอบการกัดกร่อน พนวณว่า สีเหลืองทองของเซอร์โคเนียมในไตรค์ที่เคลือบบนชิลิกอนเปลี่ยนแปลงไปน้อยมากจนแทบสังเกตด้วยตาไม่เห็นต่างจากสีที่เคลือบบนเหล็กกล้าที่มีสีและลักษณะของพื้นผิวเปลี่ยนไปจนสังเกตได้ชัด ซึ่งการเปลี่ยนแปลงนี้เป็นผลจากปฏิกิริยาออกซิเดชัน ทั้งนี้ฟิล์มเซอร์โคเนียมในไตรค์ที่ให้สีเหลืองทองนั้นจะทนต่อการกัดกร่อนได้ดี

Ramana et al. (2000) ศึกษาการเตรียมฟิล์มเซอร์โคเนียมในไตรค์ด้วยวิธีรีแอคตีฟดีซี แมกนีตรอนสปัตเตอริ่ง ที่ความดันย่อยแก๊สในไตรเจนต่าง ๆ กัน เพื่อศึกษาองค์ประกอบของฟิล์ม ความหนาและความแข็ง ซึ่งวิเคราะห์ด้วยเทคนิค XRD, Photon elastic backscattering (Photon elastic backscattering spectrometry involving $^{14}\text{N}(\text{p}, \text{p})^{14}\text{N}$ reaction) และ J-H model จากการศึกษาพบว่าที่ความดันย่อยแก๊สในไตรเจนในช่วง 7–14 % พบระนาบ (111) เป็น preferred orientation ขณะที่ความดันย่อยแก๊สในไตรเจนในช่วง 14–28 % พบระนาบ (200) เป็น preferred orientation ฟิล์มมีสีทอง เมื่อความดันย่อยแก๊สในไตรเจนเพิ่มขึ้นความสว่างของสีเซอร์โคเนียมในไตรค์ลดลง

Nose, Zhou, Honbo, Yokota, and Saji (2001) ศึกษาสีของฟิล์มไทเทเนียมและเซอร์โคเนียมเมื่อเปรียบความดันแก๊สย่อยในไตรเจนและอาร์กอน วัดสีของฟิล์มและแสดงด้วยปริมาณ x และ y ที่บ่งบอกสี และ Y บ่งบอกความสว่าง ตามมาตรฐานระบบสี CIE-Lab จากการศึกษาพบว่า (1) สีของเซอร์โคเนียมในไตรค์ต่อความดันย่อยแก๊สในไตรเจนมากกว่า สีของไทเทเนียมในไตรค์ (2) สีทองของเซอร์โคเนียมในไตรค์ มีความสว่างมากที่สุดในช่วงการเคลือบที่ความดันสูงกว่า 0.3 Pa ในทางกลับกัน สีทองของไทเทเนียมในไตรค์ มีความสว่างมากที่สุดพนที่ความดันต่ำกว่า 0.15 Pa เท่านั้น (3) เซอร์โคเนียมในไตรค์ที่เคลือบได้มีสีคล้ายทองแต่ค่อนข้างซีดกว่าเล็กน้อย และมีสว่างเหมือนกับทองบริสุทธิ์ 24-กะรัต ส่วนไทเทเนียมในไตรค์ก็สามารถเคลือบให้มีสีทอง โดยสีจะเหมือนทองมากกว่าเซอร์โคเนียมในไตรค์ แต่ความสว่างจะน้อยกว่าเล็กน้อย เมื่อเทียบกับทองบริสุทธิ์ 24-กะรัต (4) ปริมาณออกซิเจนในไทเทเนียมในไตรค์ เพิ่มขึ้นเมื่อความดันย่อยแก๊สอาร์กอนเพิ่มขึ้น ซึ่งเป็นแนวโน้มที่สอดคล้องกับการสะท้อนความสว่างและความด้านทานไฟฟ้าของวัสดุต่อความดันย่อยแก๊สอาร์กอน

Benia, Guemmag, Schmerber, Mosser, and Parlebas (2002) ศึกษาสมบัติของเซอร์โคเนียมไนโตรด์ที่มีอัตราส่วนองค์ประกอบทางเคมีที่ไม่เหมาะสม (non-stoichiometric) ที่เตรียมด้วยวิธีรีแอคตีฟเดซิเมกนิตรอนสปีตเตอริง อัตราไหหลแก๊สในโตรเจนมีผลต่อโครงสร้างสมบัติทางแสงและไฟฟ้าเป็นตัวแปรสำคัญที่ทำให้เกิด เซอร์โคเนียมไนโตรด์แบบ non-stoichiometric การวิเคราะห์ลักษณะเฉพาะของฟิล์มใช้เทคนิคต่าง ๆ ดังนี้คือ RBS, XRD, Reflectometry และ Four Point Probe จากผลการทดลองพบว่า อัตราเคลื่อนคล่องเมื่ออัตราไหหลแก๊สในโตรเจนเพิ่มขึ้น เซอร์โคเนียมไนโตรด์ที่อัตราไหของแก๊สในโตรเจนเท่ากับ 4 sccm ฟิล์มนี้ลักษณะโครงสร้างแบบโซเดียมคลอไรด์ (NaCl) มีค่าสภาพด้านทานไฟฟ้าต่ำสุด และฟิล์มนี้สีทองเมื่ออัตราไหหลแก๊สในโตรเจนเพิ่มขึ้น ฟิล์มจะลายเป็นสันฐานและมีแนวโน้มเป็นสันฐานมากขึ้น โดยมีลักษณะโปร่งแสงและไม่นำไฟฟ้าอย่างไรก็ตาม ที่อัตราไหของแก๊สในโตรเจน 9 sccm อัตราส่วนของอะตอมเซอร์โคเนียมต่อไนโตรเจน เป็นกําลัง 1.33 และฟิล์มจะแสดงสมบัติและลักษณะของเฟส Zr_3N_4

Niyomsoan, Grant, Olson, and Mishra (2002) ศึกษาการเปลี่ยนแปลงของสีเซอร์โคเนียมในไนโตรด์ (ZrN) และไทเทเนียมในไนโตรด์ (TiN) ที่ได้จากอัตราส่วนอะตอมของโลหะทรานซิชันกับไนโตรเจนและอาจมีออกซิเจนปนอยู่ด้วย การเตรียมฟิล์มบางนีชาร์ค Cathodic Arc ฟิล์มที่เป็น stoichiometric ได้จากการแปรค่าอัตราไหหลแก๊สในโตรเจนกับความดันรวมในห้องเคลือบ และควบคุมความหนาฟิล์มที่ 0.5 ไมโครเมตร ปริมาณของออกซิเจนมีความสัมพันธ์กับสีของฟิล์มคือ การสะท้อนของสเปกตรัมจากฟิล์มบางเซอร์โคเนียมในไนโตรด์ (ZrN) และไทเทเนียมในไนโตรด์ (TiN) โดยวัดจากช่วงความถี่ที่ตามองเห็นโดยบอกค่าสีในระบบ $L^*a^*b^*$ การเพิ่มของอะตอมโลหะทรานซิชันกับไนโตรเจนทำให้การสะท้อนสีของฟิล์มมีความสว่างลดลงเข้าสู่สีเหลืองทึบขึ้นเรื่อย ๆ การเปลี่ยนแปลงของปริมาณสารสัมพันธ์ไม่เปลี่ยนแปลง แต่สีของไทเทเนียมในไนโตรด์ (TiN) มีการเปลี่ยนแปลงชัดกว่าสีของเซอร์โคเนียมในไนโตรด์ (ZrN) การเปลี่ยนแปลงของปริมาณออกซิเจนในฟิล์มนี้ผลต่อการเปลี่ยนสีเหมือนกับการเปลี่ยนแปลงของปริมาณไนโตรเจน ดังนั้นออกซิเจนที่พนในฟิล์มได้ทำหน้าที่คล้ายกับไนโตรเจน คือสามารถจับตัวกับอิเล็กตรอนอิสระของโลหะทรานซิชัน

Hu, Li, and Fang (2003) ศึกษาลักษณะของผลึกที่เหมาะสมและสภาพด้านทานไฟฟ้า สำหรับฟิล์มเซอร์โคเนียมในไนโตรด์ (ZrN_x) ที่เหมาะสมในการนำไปประยุกต์ใช้กับอุปกรณ์อิเล็กทรอนิกส์ ซึ่งได้ทำการศึกษาผลของอัตราไหของแก๊ส N_2 : $(\text{N}_2 + \text{Ar})$ และอุณหภูมิวัสดุ รองรับที่มีต่อสมบัติของฟิล์มที่เคลื่อนบนกระจากด้วยวิธีรีแอคตีฟเดซิเมกนิตรอนสปีตเตอริง จากการตรวจสอบในช่วงอัตราไหของแก๊ส 4-24 % ฟิล์มแสดงโครงสร้างแบบเอฟซีซีโซเดียมคลอไรด์ (fcc NaCl) โดยที่อัตราไหของแก๊ส (N_2) ในช่วง 5-12 % แสดงรูปแบบ (111) และ (200) ในช่วง 12-24 % จะ

แสดงระนาบ (1 1 1) เท่านั้น และในช่วงอัตราไฮโลของเก็สมากกว่า 24% จะมีลักษณะโครงสร้างเป็นสันฐาน และสภาพต้านทานไฟฟ้าจะเพิ่มขึ้นในช่วงอัตราการไฮโลของเก็ส 5-24% ทั้งนี้ยังสามารถควบคุมแนวโน้มของผลของสภาพต้านทานไฟฟ้าได้โดยการเปลี่ยนอุณหภูมิวัสดุรองรับ

Liu and Yang (2003) ได้เตรียมพิล์มนางเซอร์โคเนียมในไตรด์โดย วิธีรีแอคตีฟดีซีเมกนิตรอนสปีตเตอริง เพื่อศึกษาอัตราส่วนอะตอม เฟส Texture และสมบัติทางไฟฟ้าของพิล์มนางเซอร์โคเนียมในไตรด์ โดยศึกษาพารามิเตอร์ต่างๆ ที่มีผลต่อการเกิดพิล์ม คือ อัตราไฮโลเก็ส ในไตรเจน กำลังไฟฟ้า ระยะห่างระหว่างเปล็กกับวัสดุรองรับและการไนแอสวัสดุรองรับ วิเคราะห์ด้วยเทคนิค Four-Point-Probe, EPMA และ XRD พบว่าแต่ละพารามิเตอร์ไม่เพียงแต่ส่งผลต่อผลลัพธ์เท่านั้น ยังมีผลต่อ Texture และการเจือปนของออกซิเจนในพิล์มนางด้วย ซึ่งการเปลี่ยนแปลงขององค์ประกอบของธาตุในพิล์มจะแตกต่างกันตามพารามิเตอร์ที่ใช้ นอกจากนี้การเกิดพิล์มนางเซอร์โคเนียมในไตรด์แบบ Zr-Rich, Stoichiometric และ N-Rich นั้น เป็นผลมาจากการแปรค่าอัตราไฮโลในไตรเจนหรือการไนแอสวัสดุรองรับ ซึ่งช่วงของการเกิดเฟสของพิล์มนางเซอร์โคเนียมในไตรด์แบบ Stoichiometric จะแคมมิค่าสภาพต้านทานไฟฟ้าต่ำที่สุด และ (2 0 0) Texture Coefficient มีค่าสูงสุด ทั้งนี้ยังเกิดเฟส Zr_2N ของพิล์มนางเซอร์โคเนียมในไตรด์ปรากฏอยู่ด้วย จากการแปรค่าการไนแอสวัสดุรองรับ

Ben, Guemmaz, Schmerber, Mosser, and Parlebas (2004) งานวิจัยนี้ศึกษาพิล์มนางเซอร์โคเนียมในไตรด์ที่เคลือบด้วยวิธีรีแอคตีฟดีซีเมกนิตรอนสปีตเตอริง โดยกำหนดอัตราไฮโลของเก็สในไตรเจน ตั้งแต่ 1-9 sccm เพื่อวัดค่าของสภาพความต้านทานไฟฟ้า, บันทึกรูปแบบของ XRD, RBS และการสะท้อนแสง พิล์มที่ได้มีลักษณะโครงสร้างผลลัพธ์โดยที่ในไตรเจนได้เข้าไปทำให้เกิดสมบัติทางแสง จากเป็นการสะท้อนแสงตามแบบจำลองของ Drude เป็นการทดสอบสำหรับตัวอย่างพิล์มนางเซอร์โคเนียมในไตรด์ที่เป็นแบบ Stoichiometric และ Sub-Stoichiometric ในตัวอย่างพิล์มนางเซอร์โคเนียมในไตรด์ที่เป็นแบบ Over-Stoichiometric จะต้องขยายแบบจำลองของ Drude ในงานนี้ได้พิจารณาพิล์มนางเซอร์โคเนียมในไตรด์แบบ Stoichiometric เพื่อเปรียบเทียบดูค่าคงที่ทางแสง n และ k โดยอนุมานว่าพารามิเตอร์ที่กำหนดนั้นได้ค่าแสงพอดี ตามที่ได้ศึกษานบทความงานวิจัย นอกจากนั้นงานวิจัยได้กำหนด “ความต้านทานแสง” เทียบกับตัวอย่างของงานวิจัยอื่น “ความต้านทานไฟฟ้า” ศึกษาด้วยวิธี Four-Point-Probe และได้เห็นว่าการรวมตัวระหว่างเส้นโค้งทั้งสองยืนยันได้ว่าแบบจำลองเส้นโค้งจากการสะท้อนนี้พอดีกับการรวมตัวของสารประกอบ

Augera, Araiza, Falcony, Sánchez, and Albella (2007) ศึกษาชั้นเคลือบเชอร์โโคเนียมในไตรด์ที่เคลือบด้วยวิธีอาร์เอฟสปิตเตอริง โดยใช้อัตราไอลของแก๊ส Ar/N₂ ที่แตกต่างกัน (5:1, 5:5, 1:5) ภายหลังการเคลือบนำชั้นเคลือบที่ได้ไปอบที่อุณหภูมิ 500 °C ในบรรยายกาศออกซิเจนเพื่อทดสอบความเสถียรของชั้นเคลือบ และการเกิดออกซิไนไตรด์ (Oxynitride) ในการวิเคราะห์องค์ประกอบทางเคมี ความหมายผิว โครงสร้าง ตลอดจนสมบัติเชิงกลและไตรโนโลยีของชั้นเคลือบที่ได้จากการเคลือบและชั้นเคลือบที่ผ่านการอบอ่อน วัดด้วย EDS, AFM, XRD, Nanoindentation และ pin-on-disk ตามลำดับซึ่งพารามิเตอร์ในการเคลือบจะเป็นตัวกำหนดอัตราเคลือบ โครงสร้างผลึกและความหมายผิว ซึ่งจะส่งผลกระทบต่อสมบัติเชิงกลและไตรโนโลยีของชั้นเคลือบ จากการทดลองพบว่าสมบัติเชิงกลและไตรโนโลยีที่ดีที่สุดต้องดูแลกระบวนการเกิดฟิล์มสูงสุดจะเกิดขึ้นกับฟิล์มที่เคลือบภายใต้เงื่อนไขของอัตราไอลแก๊ส Ar:N₂ เท่ากับ 5 sccm : 1 sccm ชั้นเคลือบที่ไม่ผ่านการอบอ่อนมีการสึกหรอต่ำ แต่เมื่อนำไปผ่านการอบอ่อน พบว่าชั้นเคลือบมีความแข็งเพิ่มขึ้น ทำให้ชั้นเคลือบมีเหมาะสมสำหรับนำไปใช้เป็นชั้นป้องกัน

Fragiel et al. (2008) ศึกษาการเตรียมฟิล์มเชอร์โโคเนียมในไตรด์ด้วยวิธีรีแอคตีฟอันนาลนซ์แมกนีตรอนลปัตเตอริงที่ความดันบ่อยแก๊สในไตรเจนแตกต่างกันบนสเตนเลส และทดสอบสมบัติเชิงกลของฟิล์ม ด้วยเทคนิค nanoindentation โดยใช้หัวดิบเบิร์กไครช (Berkovich Indenter) ทำการทดสอบด้วยแรงกดตึงแต่ 120 – 9,000 μN และทดสอบความหนาต่อการสึกหรอของผิวฟิล์มด้วยเทคนิค Ball-On-Disc Tribometer ภายใต้แรงกดปกติ 2 N พบว่าความดันบ่อยแก๊สในไตรเจนมีผลอย่างมีนัยสำคัญต่อความแข็งและสอดคล้องกับค่ายั่งมอคูลัสของฟิล์ม และยังพบว่าการเพิ่มขึ้นของความดันบ่อยแก๊สในไตรเจนจาก 1×10^{-4} Torr ถึง 10×10^{-4} Torr โดยค่าความแข็งและค่ายั่งมอคูลัสจะลดลงจาก 26 ถึง 20 GPa และ 360 ถึง 280 GPa ตามลำดับ ผลจากเทคนิค Nanoindentation ยังพบว่ามีชั้นของออกไซด์ (หนาประมาณ 10 nm) เกิดอยู่บนผิวของฟิล์มเชอร์โโคเนียมในไตรด์ด้วย ทั้งนี้เงื่อนไขการเคลือบฟิล์มจึงเป็นกลไกสำคัญในการกำหนดสมบัติเชิงกล